

# ECHOGRAPHIE ET AUTRES IMAGERIES DU SYSTÈME NERVEUX CENTRAL

Professeur Oreste Battisti Pédiatrie néonatalogie  
Faculté de Médecine  
Université de Liège

# Possibilités de l'échographie

- ▣ Historique
- ▣ Techniques
- ▣ La croissance cérébrale
- ▣ L'analyse du cervelet
- ▣ Les ventricules cérébraux
- ▣ L'espace inter- et péri hémisphérique
- ▣ Le Doppler
- ▣ Les principales lésions
- ▣ Un l'IRM

# Historique et technique

## ▣ **Historique:**

- Un héritage de l'obstétrique: St Campbell
- La sémiologie anatomique normale
- La sémiologie des lésions hémorragiques
- La sémiologie des lésions ischémiques

## ▣ **Techniques**

- l'évolution des sondes
- L'arrivée du couplage écho-Doppler

# Figures de proues



Professor Campbell at a scan c. 1998



Professor Wigglesworth



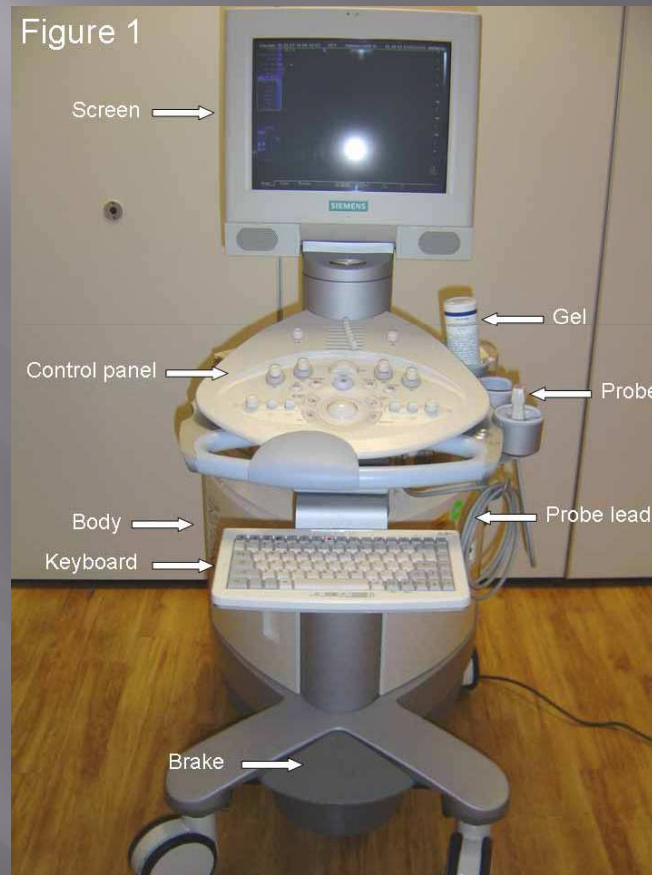
Kypros Nicolaides

Ces auteurs ont décrit  
Les fondements de  
L'écho-Doppler du  
Fœtus et  
du nouveau-né



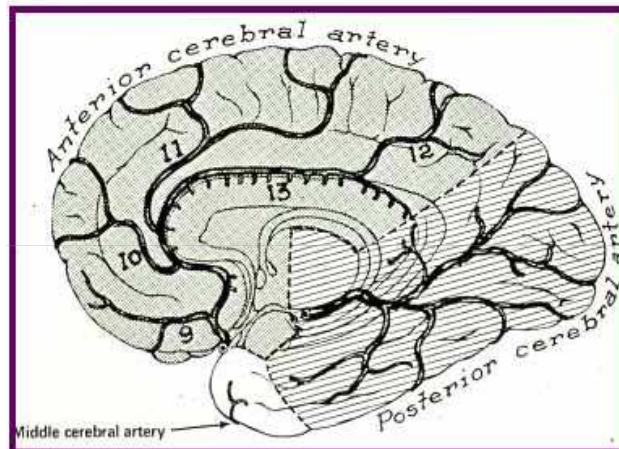
Professor Malcolm Levene

# L'écho-Doppler: une extension indispensable à l'examen clinique



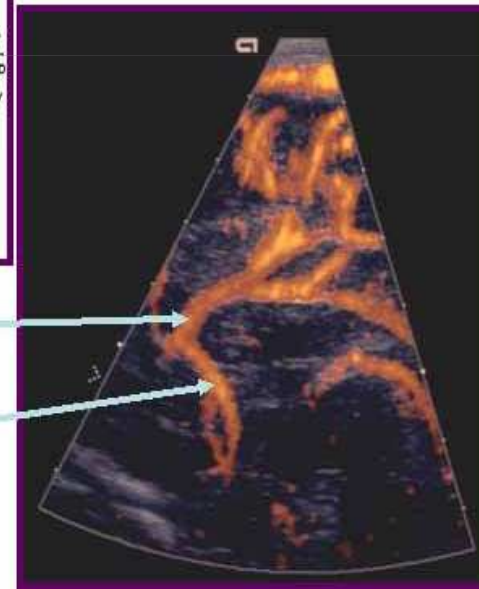
# La technique de l'écho-Doppler

Figure 3

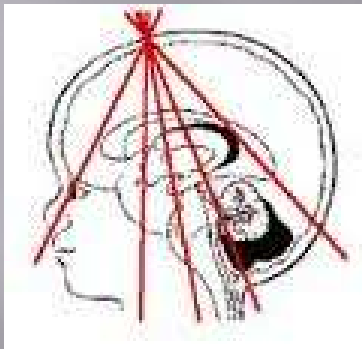


Pericallosal artery

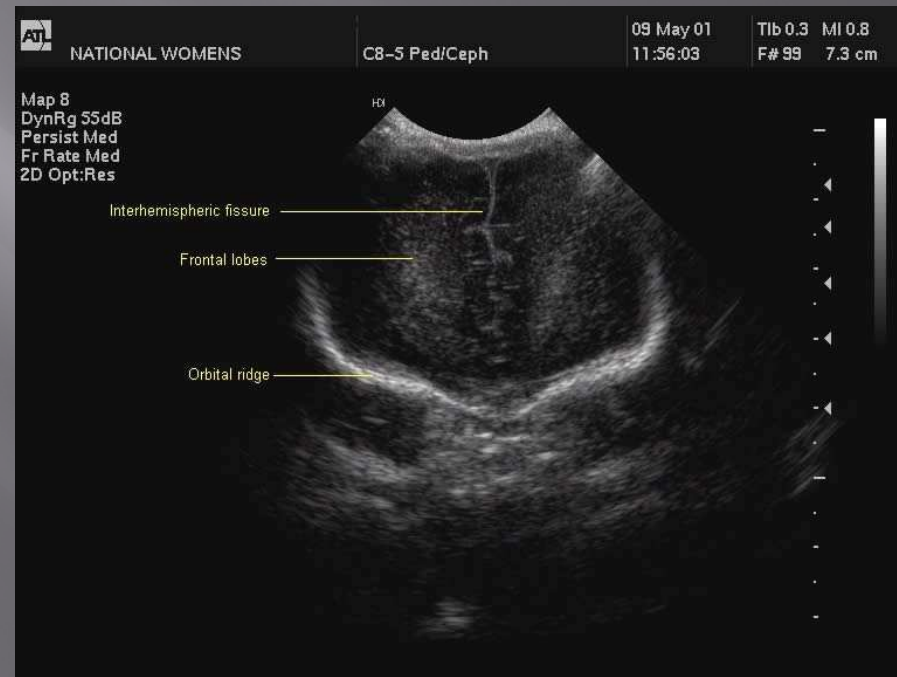
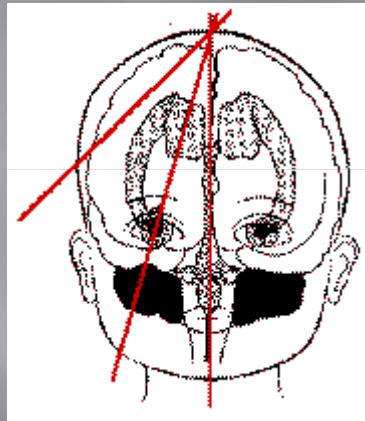
Anterior cerebral artery



# Coupes sagittales



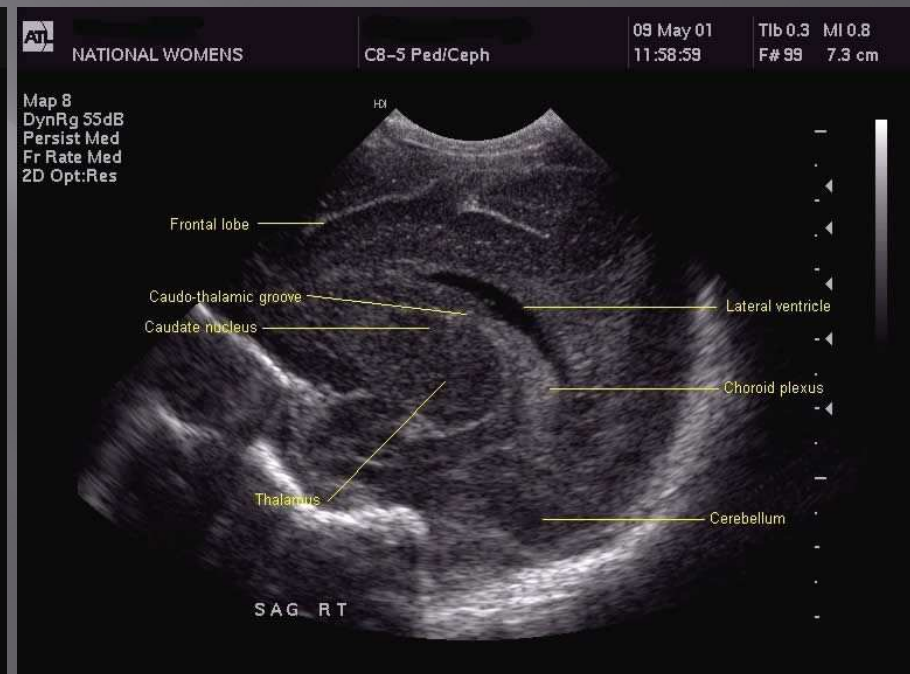
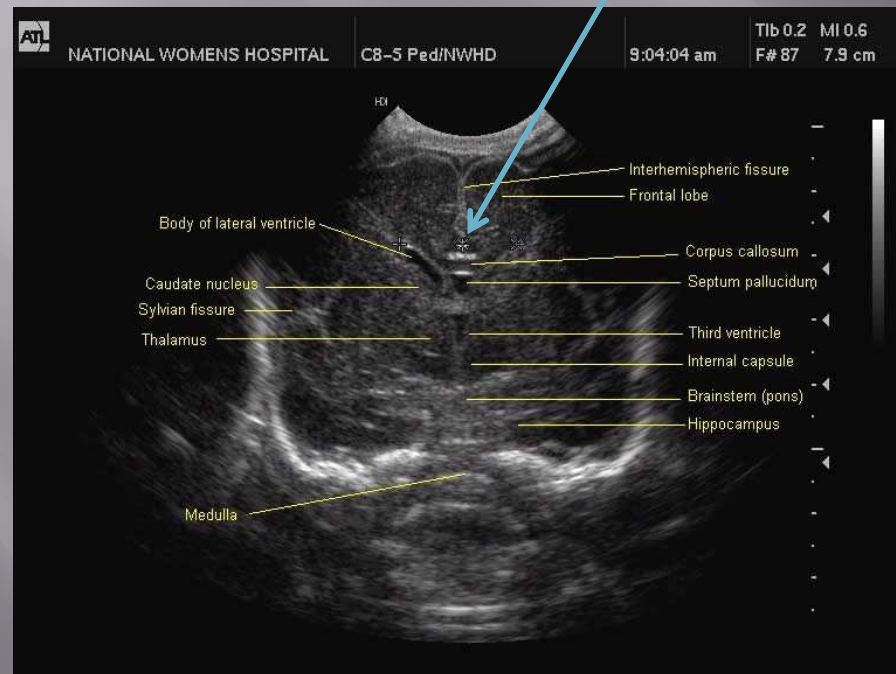
# Coupes frontales





# Coupes frontale et parasagittale

La mesure de la hauteur du lobe frontal



# Le Doppler

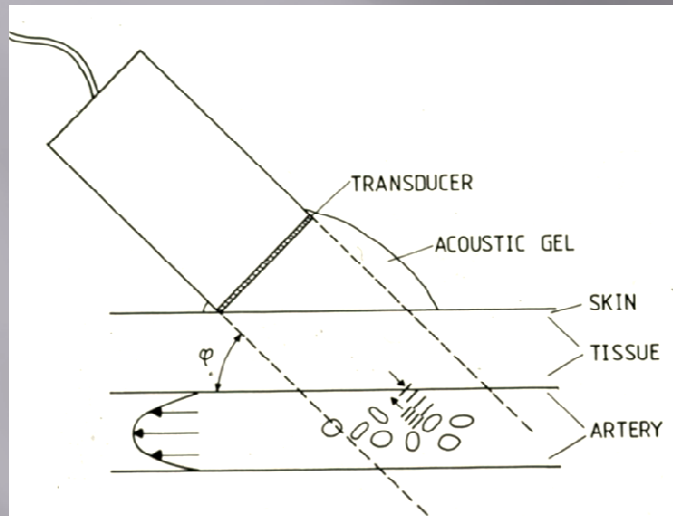
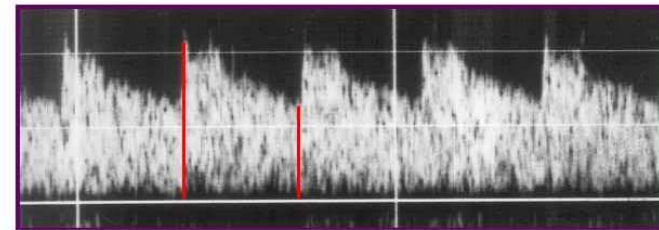
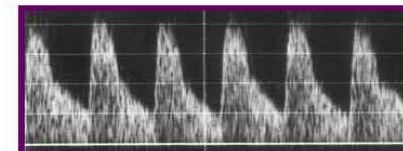


Figure 2

High end-diastolic velocity giving low pulsatility ratio indicating loss of normal vasomotor tone



Normal

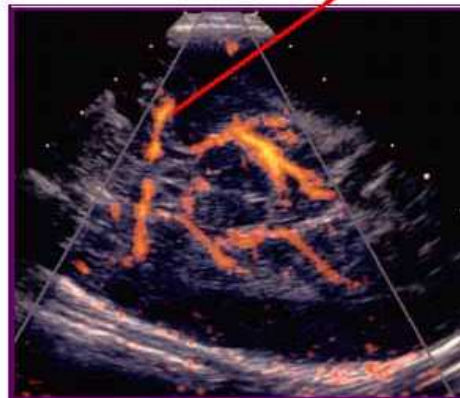


# L'abord de l'écho-Doppler

Figure 4



Line of insonation  
for the **middle  
cerebral artery**  
from the temporal  
window



# Utilités de l'écho-Doppler

- ▣ Predictive value of blood velocity and PI measurements for adverse outcome in HIE (Levene 1989)

	<i>Abnormal CBFV*</i>	<i>Low PI &lt; 0.55</i>
<b>Sensitivity</b>	<b>57%</b>	<b>60%</b>
<b>Specificity</b>	<b>88%</b>	<b>63%</b>
<b>PPV</b>	<b>94%</b>	<b>83%</b>

- ▣ # 2 - 4 days after birth
- ▣ < 2SD or > 3 SD

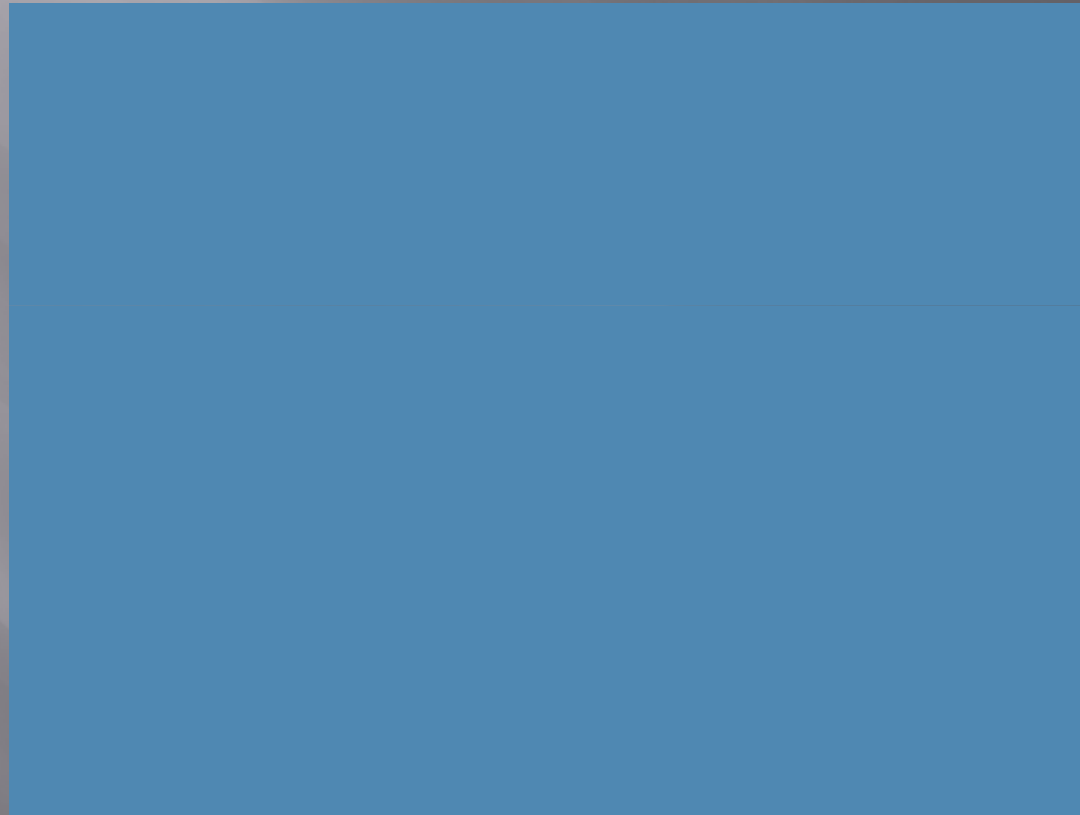
- ▣ Early (< 6 hours) bedside assessment in term HIE (Eken 1995)

	<i>Sensitivity</i>	<i>Specificity</i>
<b>Ultrasound</b>	<b>42.1%</b>	<b>60%</b>
<b>Doppler</b>	<b>23.5%</b>	<b>100%</b>
<b>SSEP</b>	<b>94.7%</b>	<b>73.3%</b>
<b>VEP</b>	<b>89.5%</b>	<b>66.7%</b>
<b>CFM</b>	<b>94.1%</b>	<b>78.6%</b>

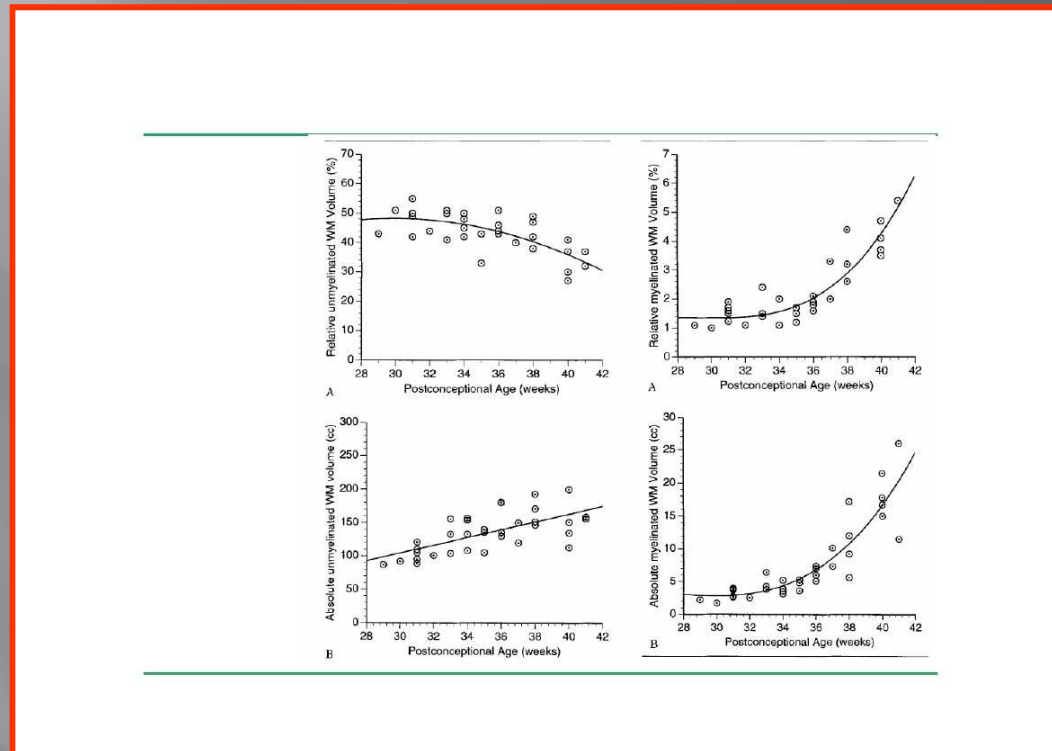
# L'analyse Doppler du cerveau: « listening to the brain »



# Le cerveau périnatal des cellules, qui bougent...

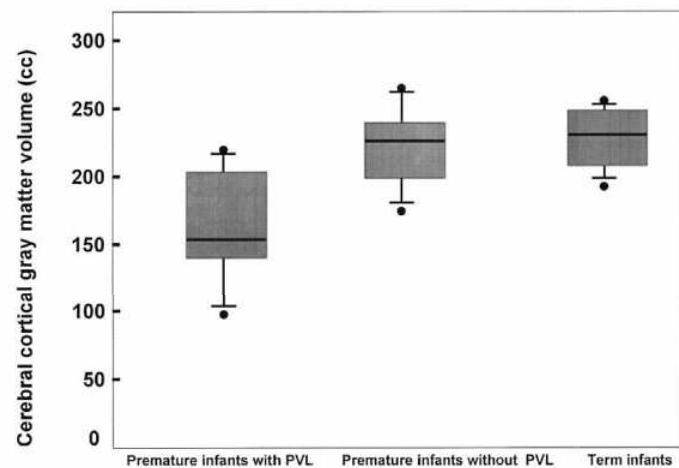


# Études de Huppi en IRM



# Les travaux sur l'IRM du cerveau périnatal et néonatal:

- Boston
- Londres



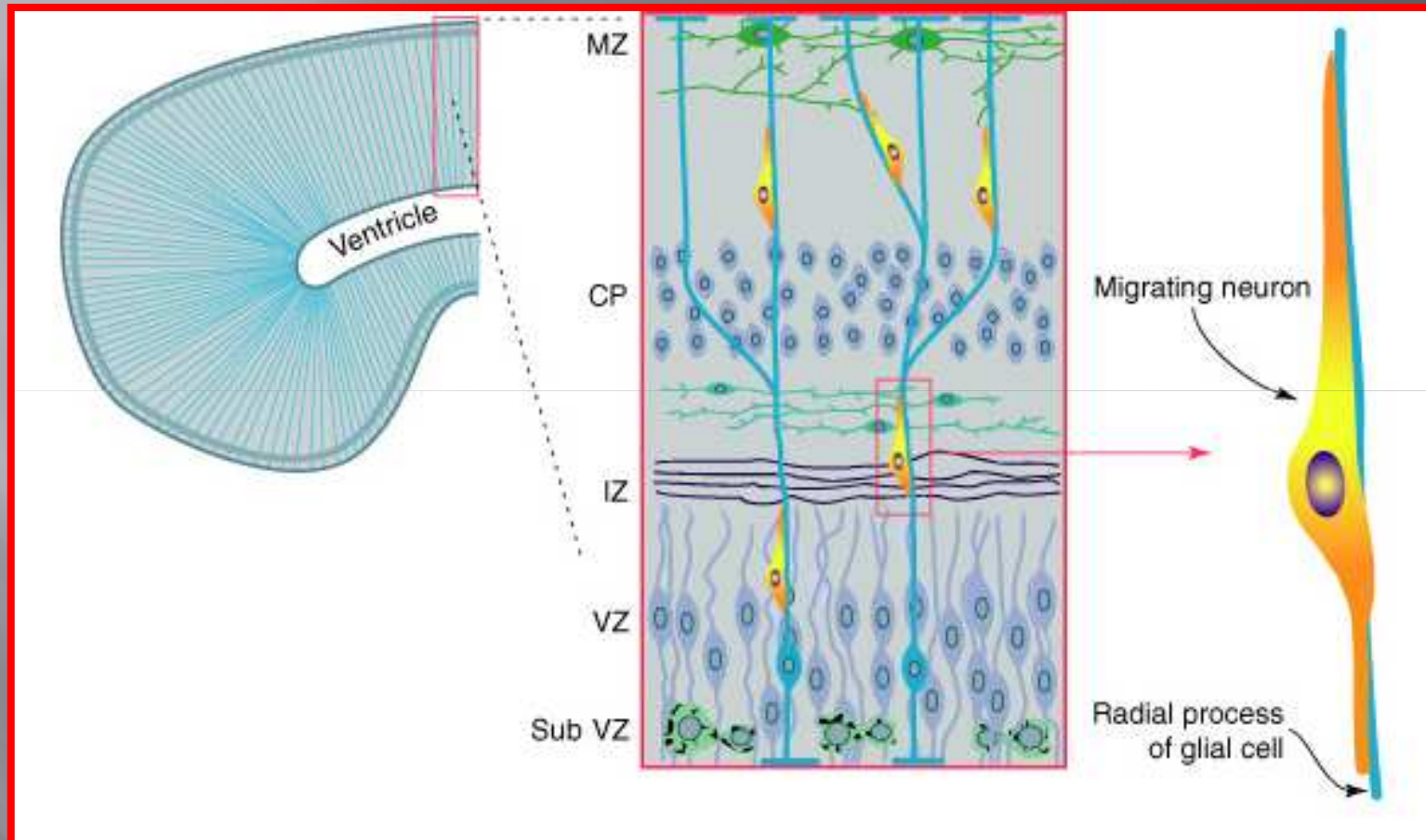
*Fig 1. Cerebral cortical gray matter volumes at term in premature infants with ( $n = 10$ ) and without ( $n = 10$ ) evidence of periventricular leukomalacia (PVL) and in normal term infants ( $n = 14$ ) (expressed as medians, with 25th/75th centile box, 10th/90th centile error bars, and outliers).*

Réduction de la masse corticale  
Réduction de la masse blanche  
Troubles de la formation des tractus et fibres de projection

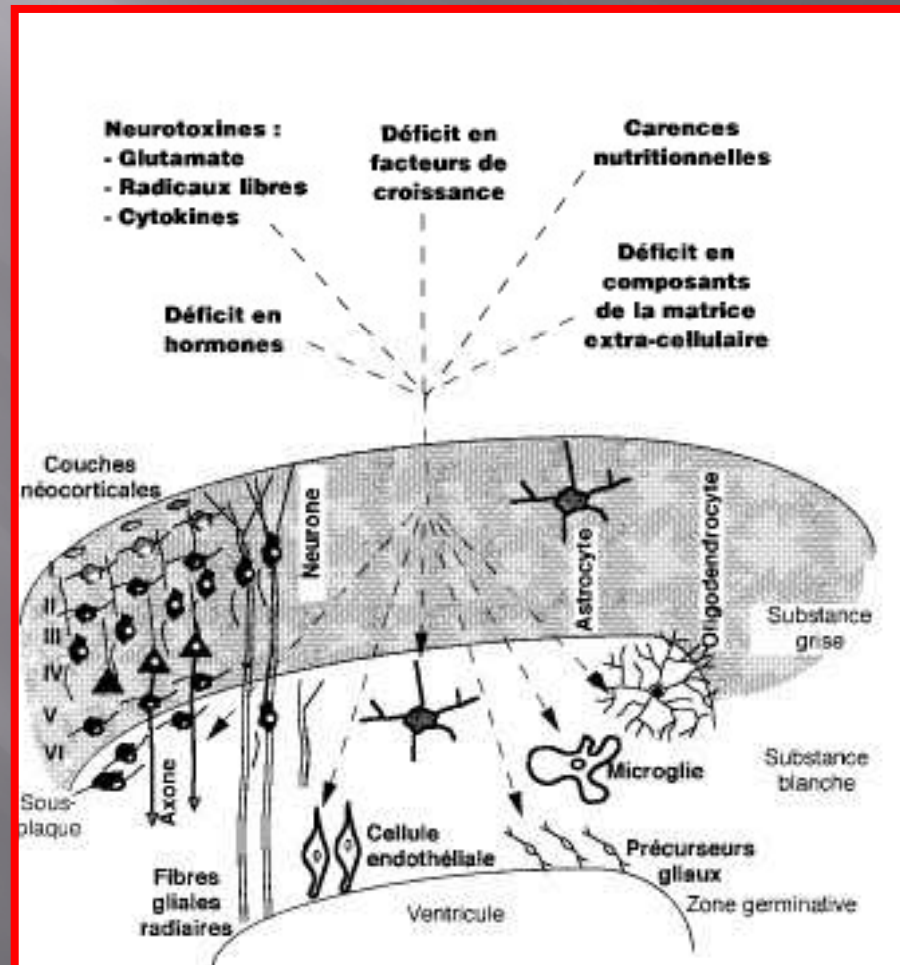


# La croissance cérébrale:

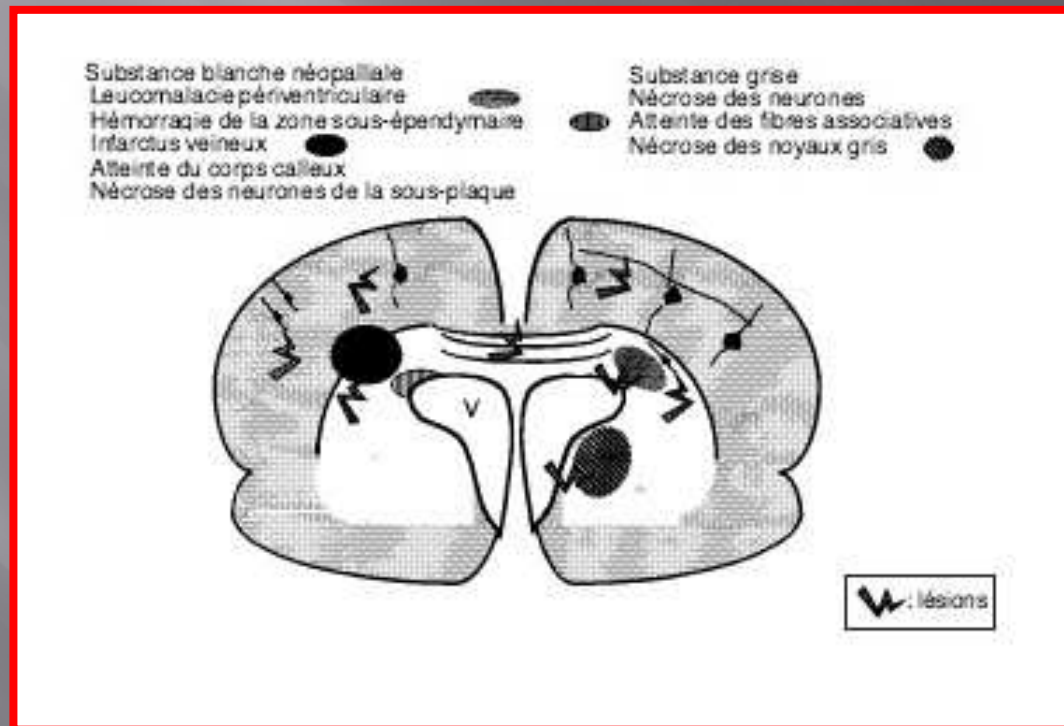
toute l'importance de la migration neuronale tardive



# Structure cellulaire (2)

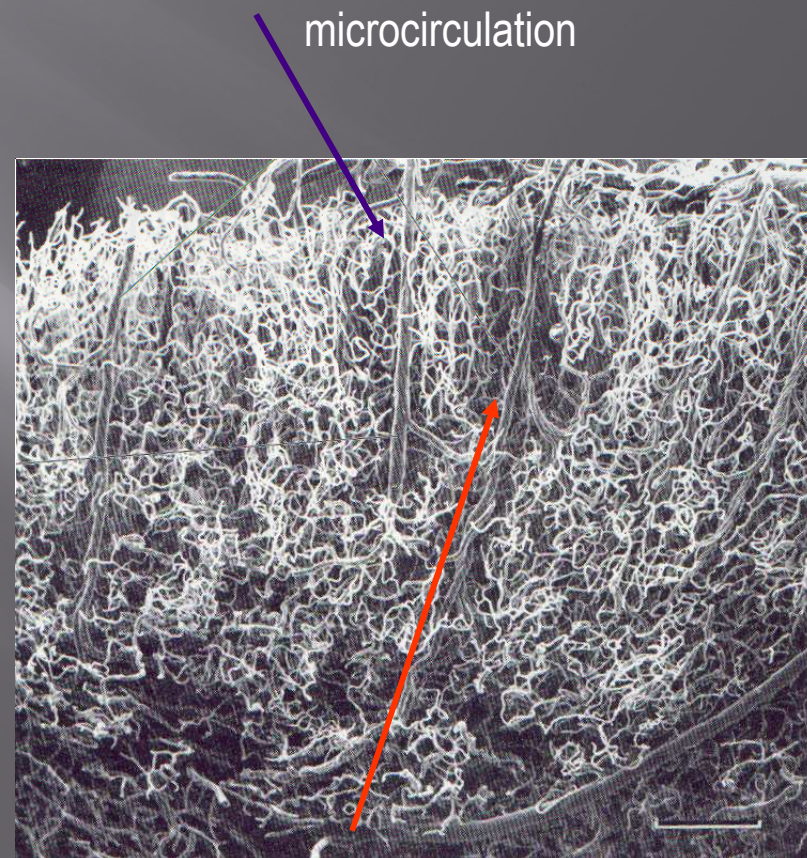


# Structure cellulaire



## Fetal and neonatal Brain development: histology and biochemistry

- ▣ Early neuronal migration ( Rakic )
- ▣ Late neuronal migration ( Sarnat )
- ▣ Cerebral blood flow ( Lou )
- ▣ Autoregulation of CBF ( Lou, Greisen )
- ▣ Cerebral metabolism ( Volpe )
- ▣ Autoregulation of CM
- ▣ Focus on neurons
- ▣ Focus on glial cells
- ▣ Clinical aspects



40 % glial cells , 4 % neurons, 4 % blood,  
10 % CSF, 35 % ECF, 10 % variance

# The concept of neurone-glia cells association

Les cellules sont en place à l'âge de 4 mois après le terme

Oligodendrocytes:  
Perineuronal;

Astrocytes:  
perivascular,  
in White and grey matter

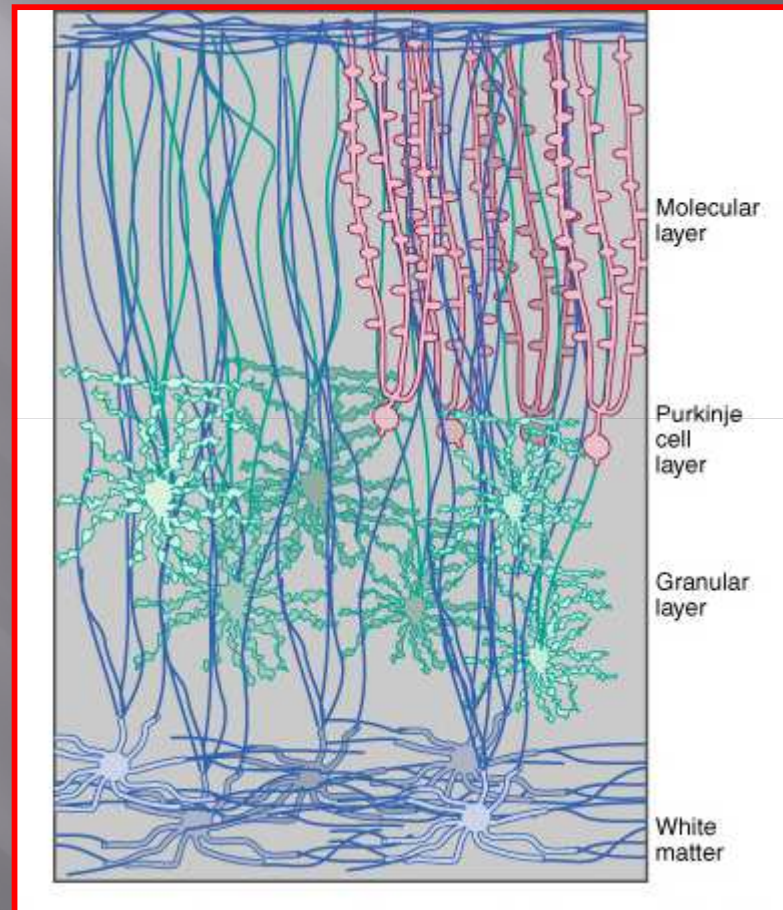
Microcytes:  
travellers



Radial cells

Layers 1, 2 and 3 for intra-cortical associative relationships  
1, 4, 5, 6 for projective intra-cortical and subcortical relationships

# L'analyse du cervelet



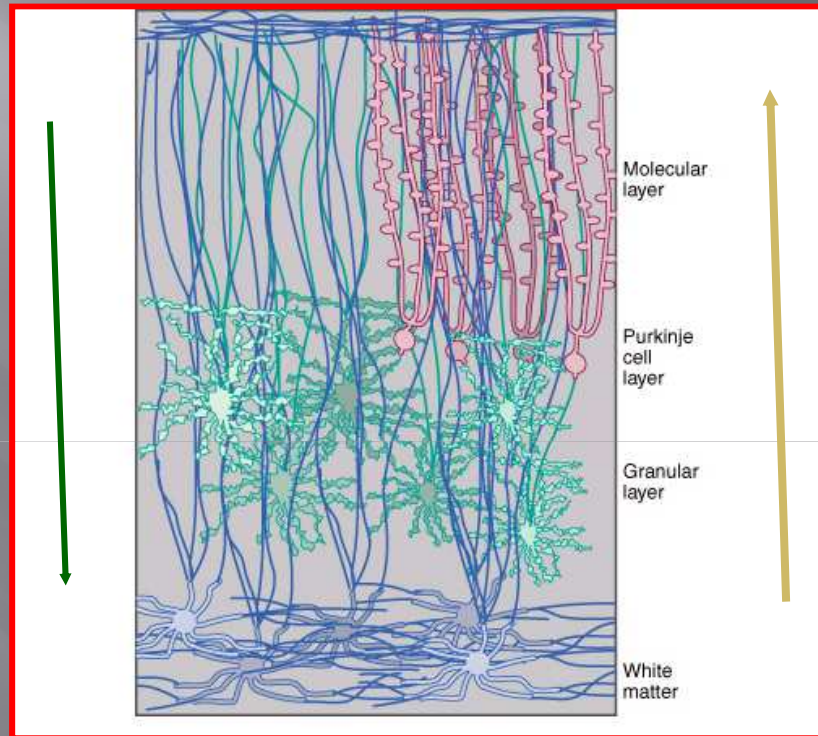
Les cellules sont en place à l'âge de 12 mois après le terme

Specific aspects of neuronal migration, fibers and synapses construction, myelination

cortex

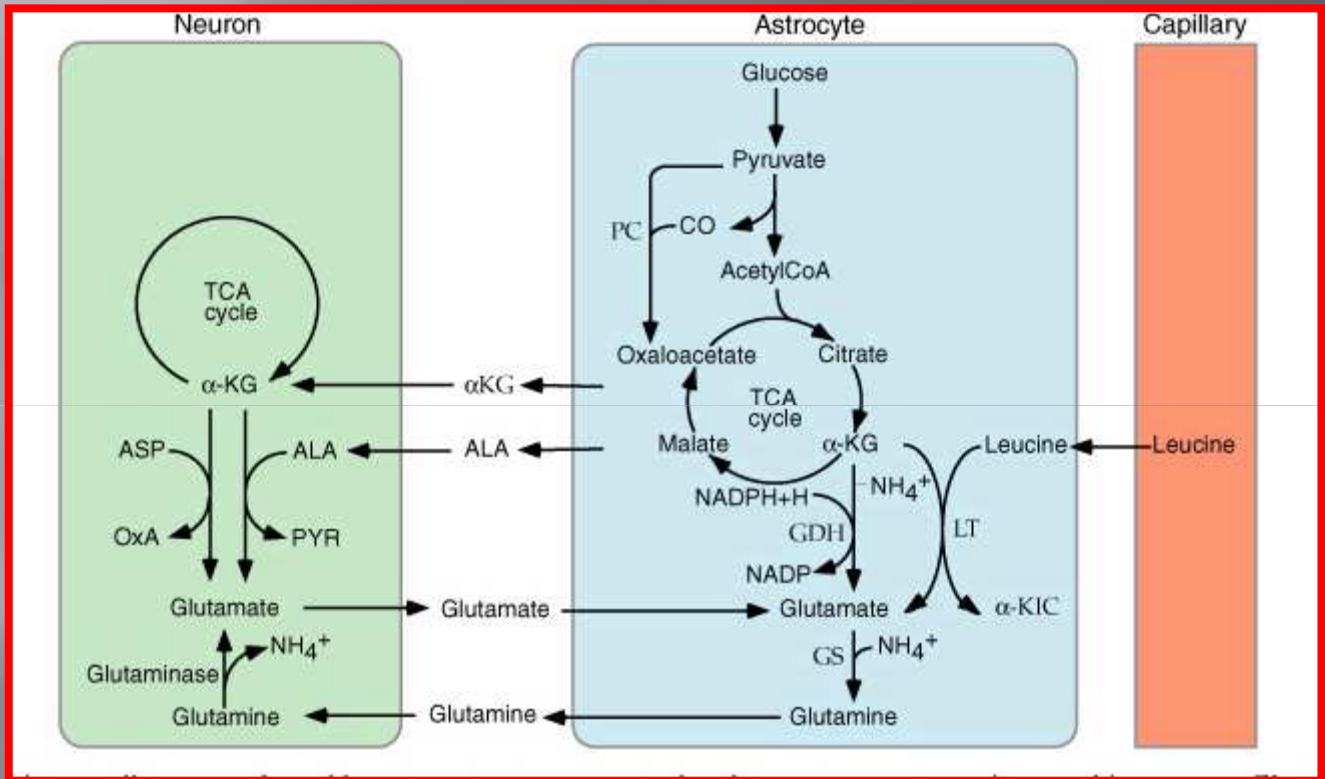
« white matter » zone

Germinal zone  
From ependyma



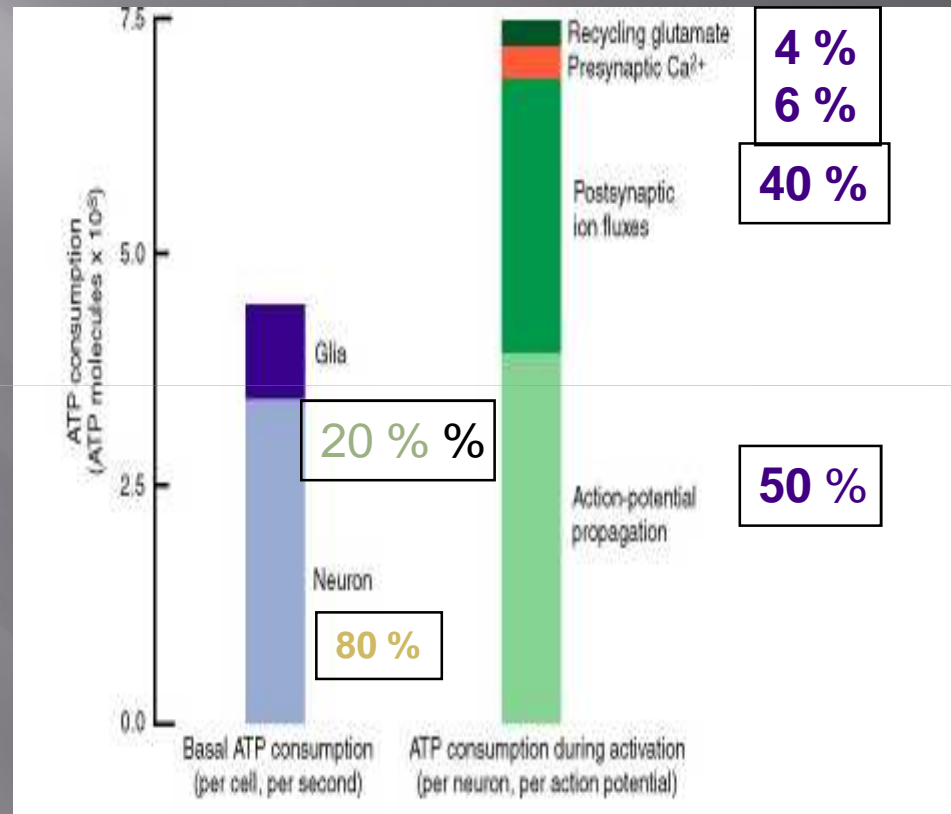
7-10 glial cells per neuro

# Importance de l'association biochimique

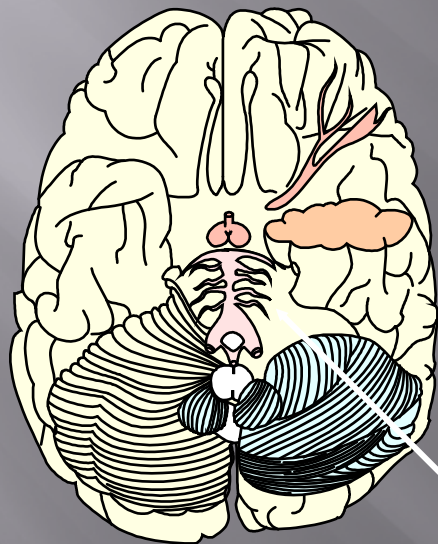
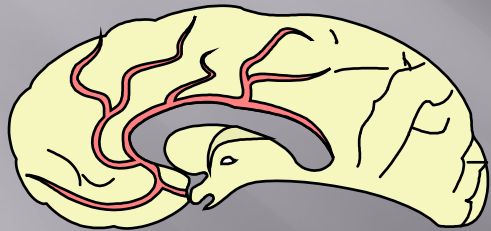




# Toute l'importance de la biochimie



# Cerebral blood flow and metabolic autoregulation loss or absence



Locus coeruleus

## ▣ CBF absent if:

- respiratory distress;
- circulatory distress;
- hypoglycemia;
- CNS infection;
- brain trauma;

## ▣ Loosing the independence

- ▣ 1° Systolic blood pressure;
- 2° CO<sub>2</sub> pressure (attention to pCO<sub>2</sub> < 27 for ≥ 1hr or > 65 for > 6 hrs );
- 3° O<sub>2</sub> content;

# Glucose ( mg/dL ) and O<sub>2</sub> ( ml/dL ) requirements in the distressed brain

Hemoglobin from present blood stores O<sub>2</sub> for 60  
sec

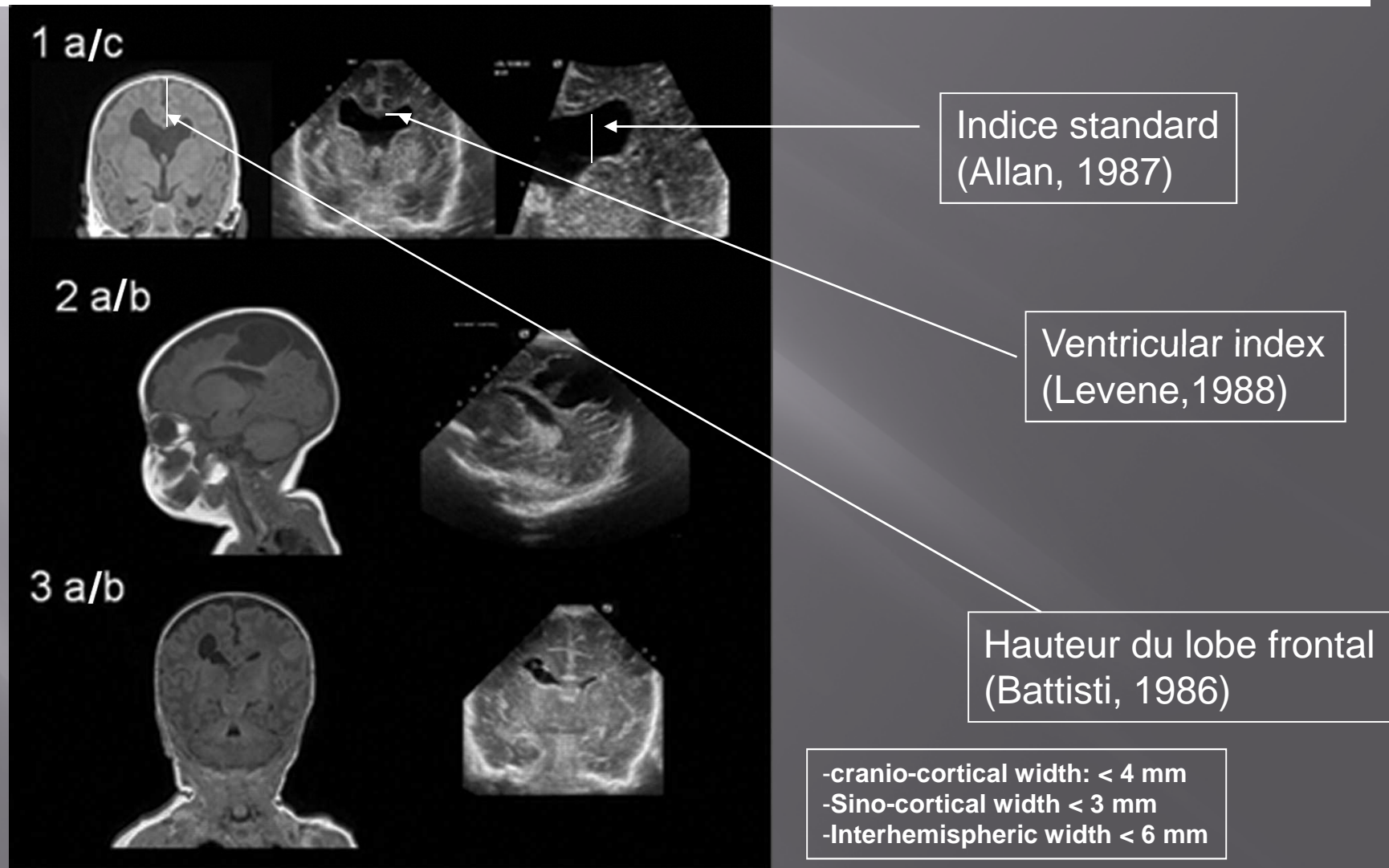
	Cbf ml/100g/ m	[ aG ] ->I	[ aG ]-> W	[ aO <sub>2</sub> ]->I	[aO <sub>2</sub> ]-> W	
term	20	21	36	10	22	Hb 12 g/dL
Preterm « good »	15	30	50	13	29#	target
Preterm sick	10	40	72	19	44#	Hb 15 g/dL
	2	82	143	28#	62#	

Glycogen stores are enough for 30-60 minutes...

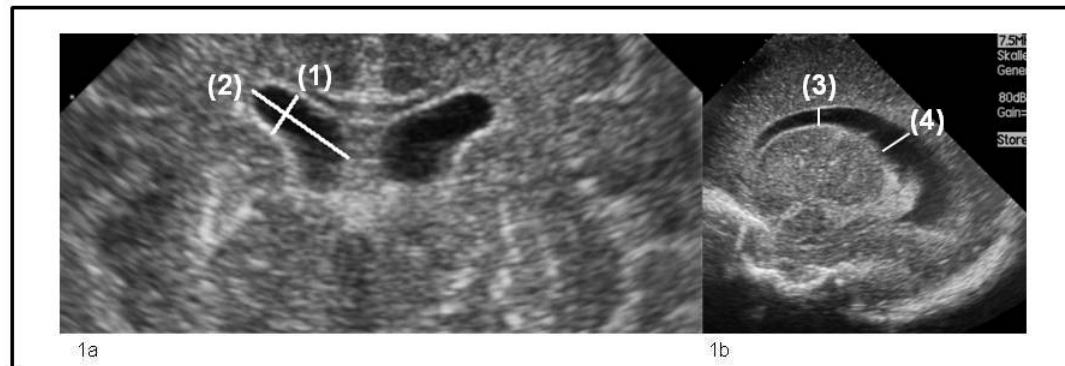
# L'analyse des ventricules cérébraux

- ▣ Comment apprécier la dimension: la hauteur standard, l'index ventriculaire selon Levene, l'indice selon Evans
- ▣ Bien regarder le pourtour et son intégrité
- ▣ Bien regarder les plexus choroïdes
- ▣ Bien regarder la région de la couche germinative
- ▣ Bien regarder la région périventriculaire

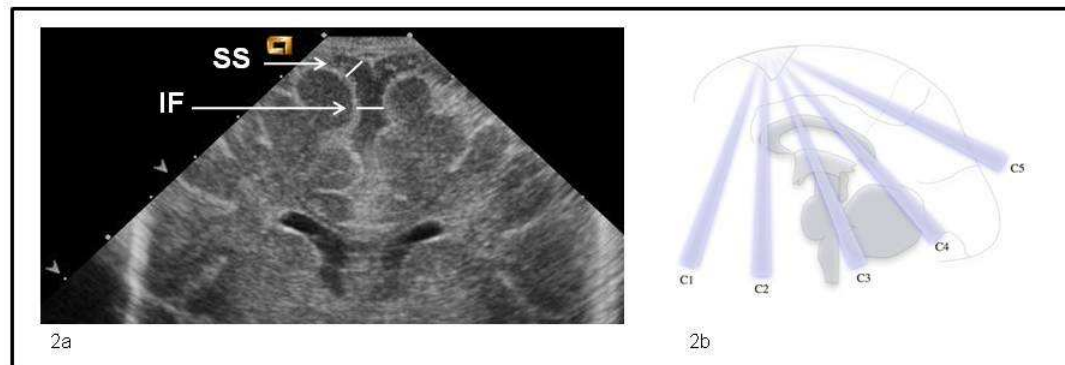
**Il faut « couper » le cerveau par différents abords et faire des mesures rapportées aux valeurs normatives.**



# Les indices (2)

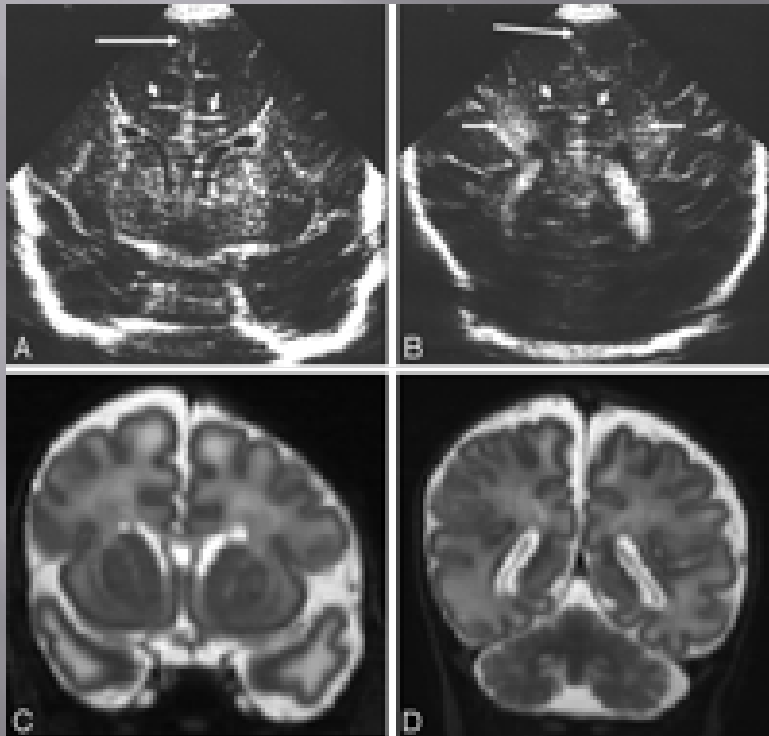


Appendix Figure 1a+b



Appendix Figure 2a+b

# L'espace inter- et péri-hémisphérique



# Les lésions

- ▣ Les lésions malformatives
- ▣ Les lésions hémorragiques
- ▣ Les lésions inflammatoires
- ▣ Les lésions dites kystiques
- ▣ L'œdème cérébral
- ▣ La dilatation du système ventriculaire



# FACTOR ANALYSIS PRODUCES FOUR CLUSTERS OF HISTOLOGIC ABNORMALITIES

DEN - Gilles et al J Neuropathol Exp Pathol 1998; 57:1026

## 1. NON-HEMORRHAGIC LESIONS

Small, dense, asymmetrical lesions: hypertrophic astrocytes, macrophages, coagulative necrosis in white and gray matter

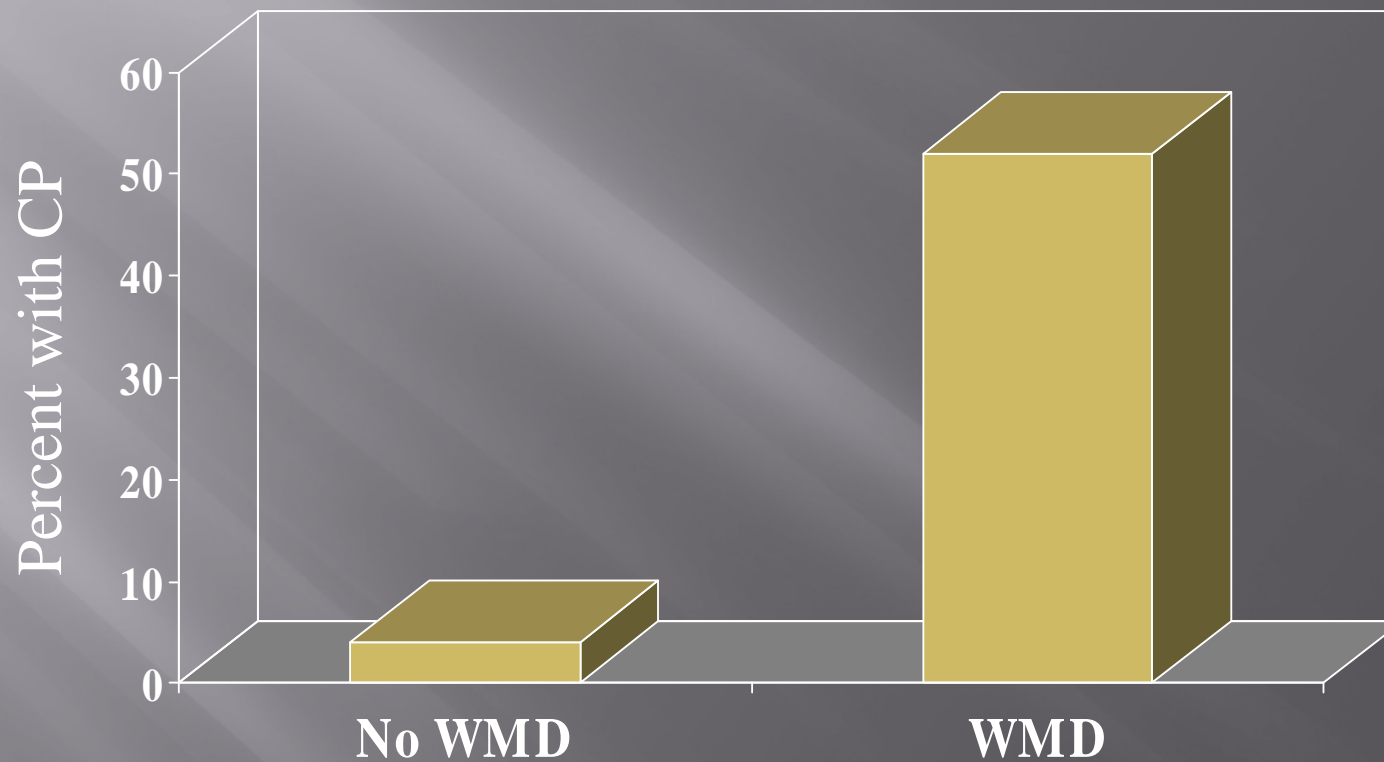
Large, diffuse symmetrical lesions: hypertrophic astrocytes and amphophilic globules

## 2. HEMORRHAGIC LESIONS

Intraventricular, subarachnoid and parenchymal hemorrhage

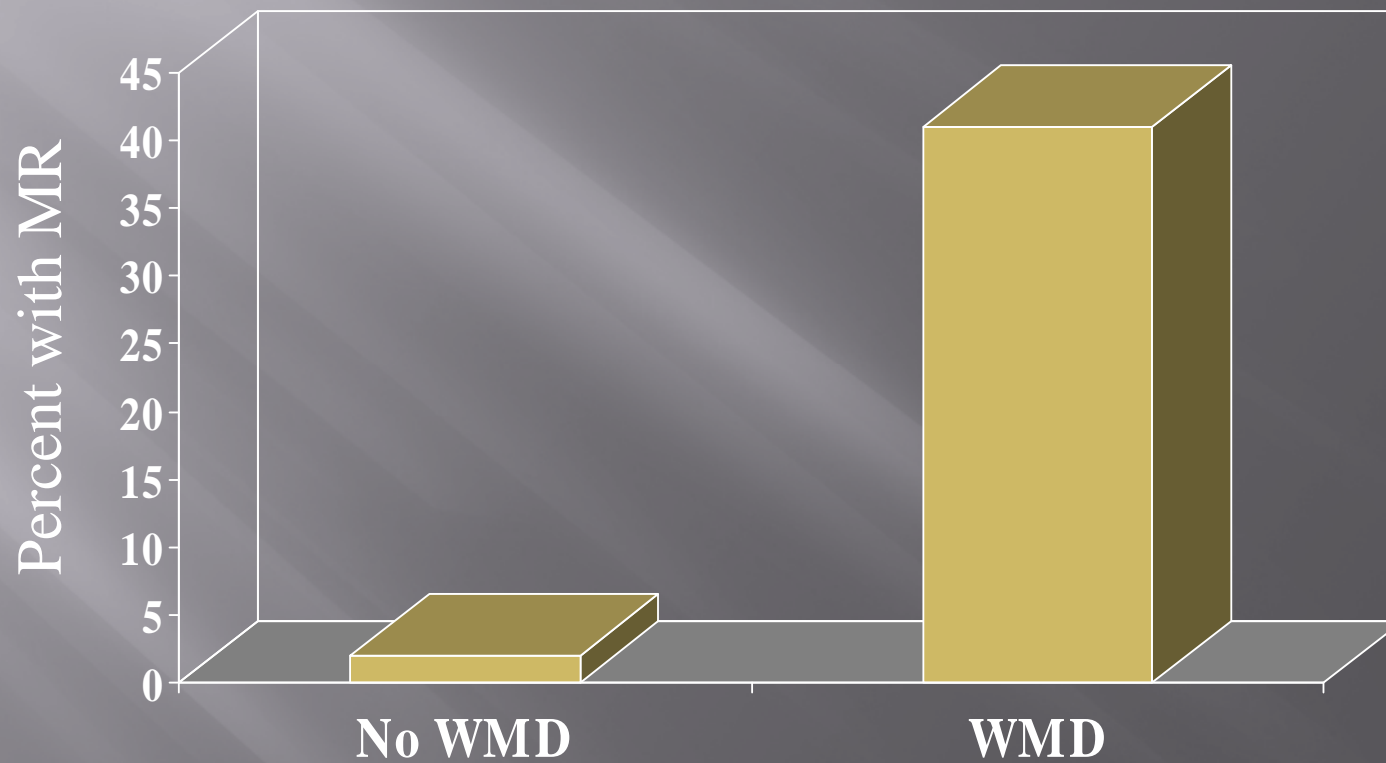
Hemorrhagic necrosis

# White Matter Damage and Cerebral Palsy



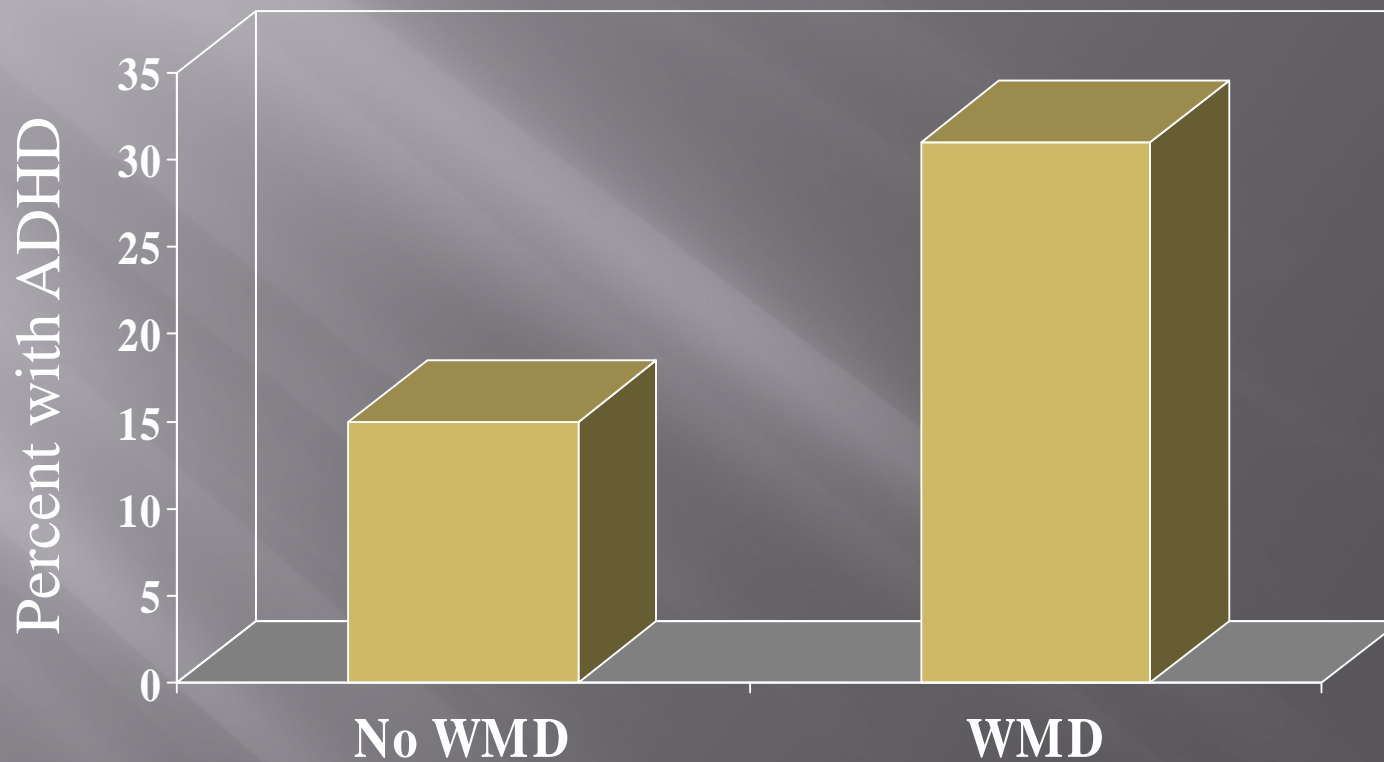
**Pinto-Martin et al. Pediatrics 1995; 95:249**

# White Matter Damage and Mental Retardation



**Whitaker et al. Pediatrics 1996; 98:719.**

# White Matter Damage and Attention Deficit Hyperactivity Disorder



**Whitaker et al. Arch Gen Psychiatry 1997; 54:847**

# Les lésions malformatives

- ▣ Agénésie du corps calleux
- ▣ Trouble de la gyrie
- ▣ Malformation vasculaire
- ▣ Hydranencéphalie, porencéphalie
- ▣ Tumeur du plexus choroïde
- ▣ ...

# Les lésions hémorragiques

Elles sont devenues beaucoup moins fréquentes

# CLASSIFYING BRAIN DAMAGE

Paneth N: J Pediatrics 1999;134:527-9.

## PAPILE CLASSIFICATION

**Grade I - GMH alone**

**Grade II - uncomplicated  
GMH/IVH**

**Grade III - IVH with ventricular  
enlargement**

**Grade IV - IVH with parenchymal  
extension**

## NBH/DEN CLASSIFICATION

1. **No lesion**
2. **GMH or IVH without  
ventricular enlargement (VE)**
3. **Parenchymal echodensity or  
lucency or ventricular  
enlargement (greater than  
mild)**

**(DEN prioritized looking at EL)**

# Hémorragie « stade 4 »





# Les lésions pseudo-cystiques

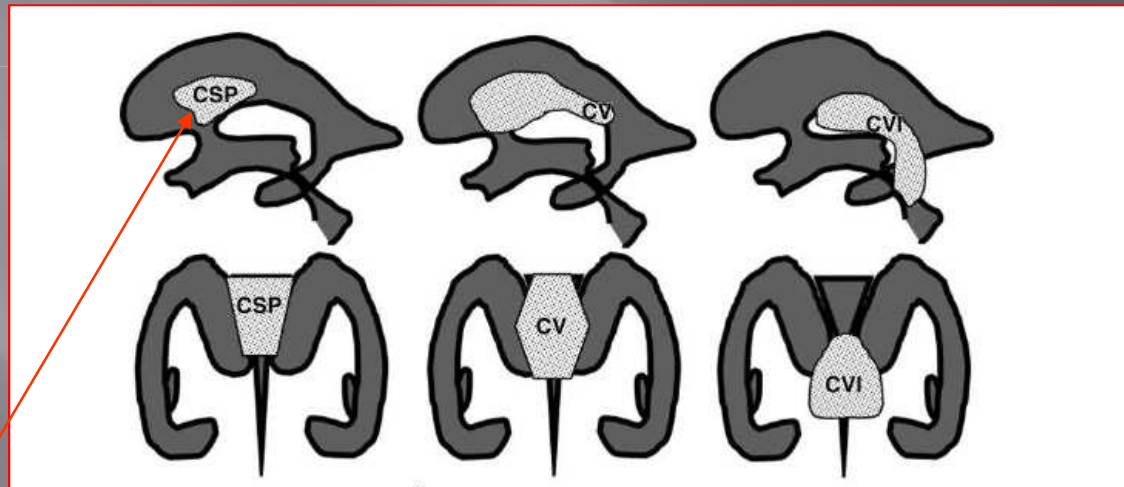
- Elles sont les lésions les plus fréquentes**
- Elles peuvent rester permanentes**
- elle peuvent sembler disparaître et laisser place à une gliose.**

Les structures médianes:

-csp: cavum septi pellucidum

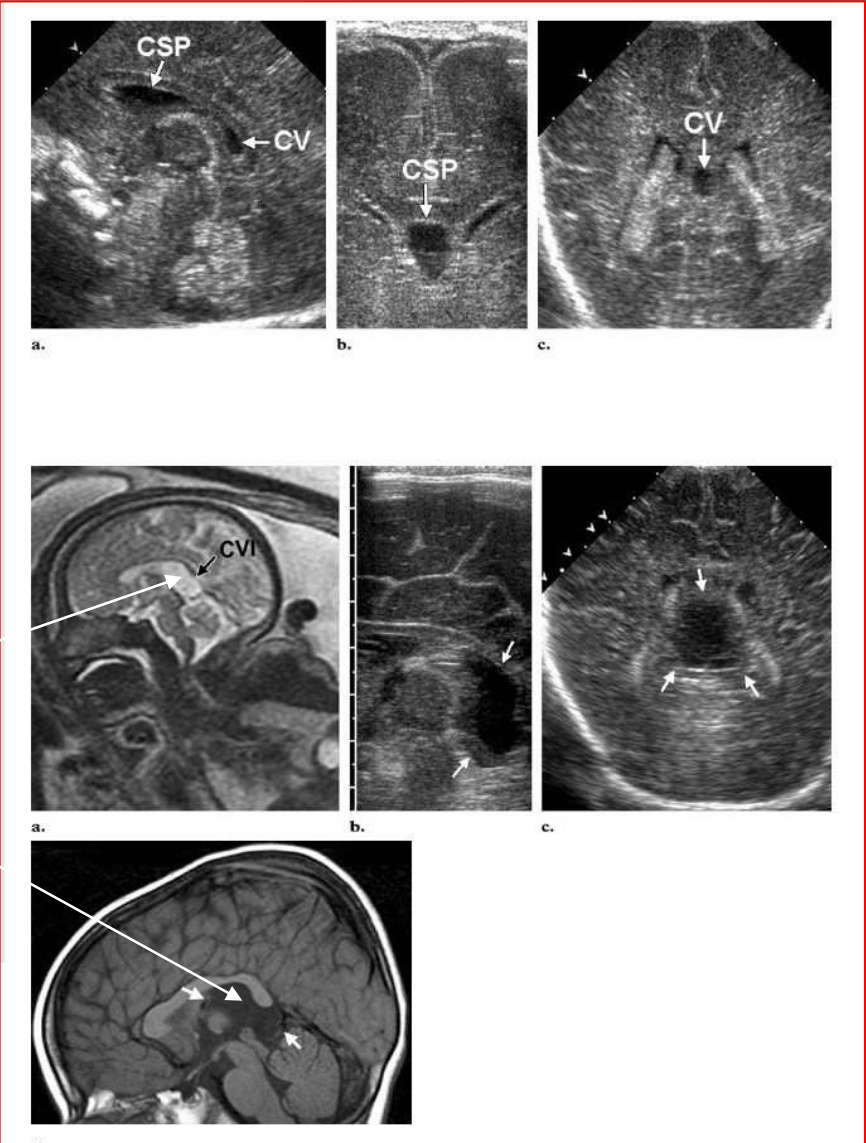
-Cv: cavum vergae

-Cvi: cavum veli interpositi

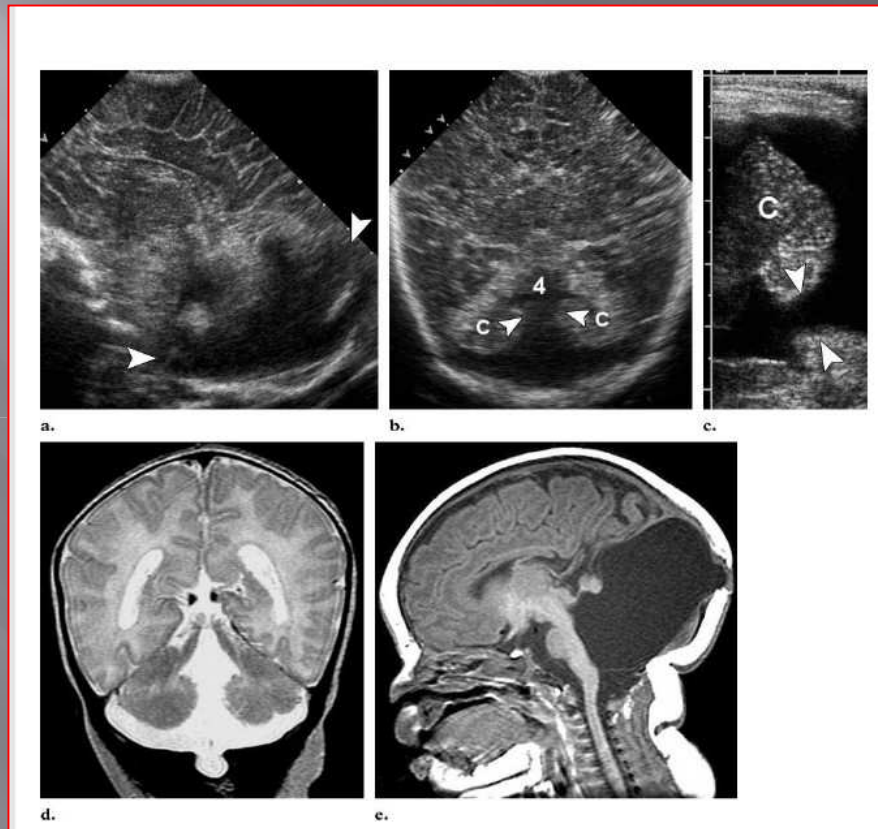


< système limbique

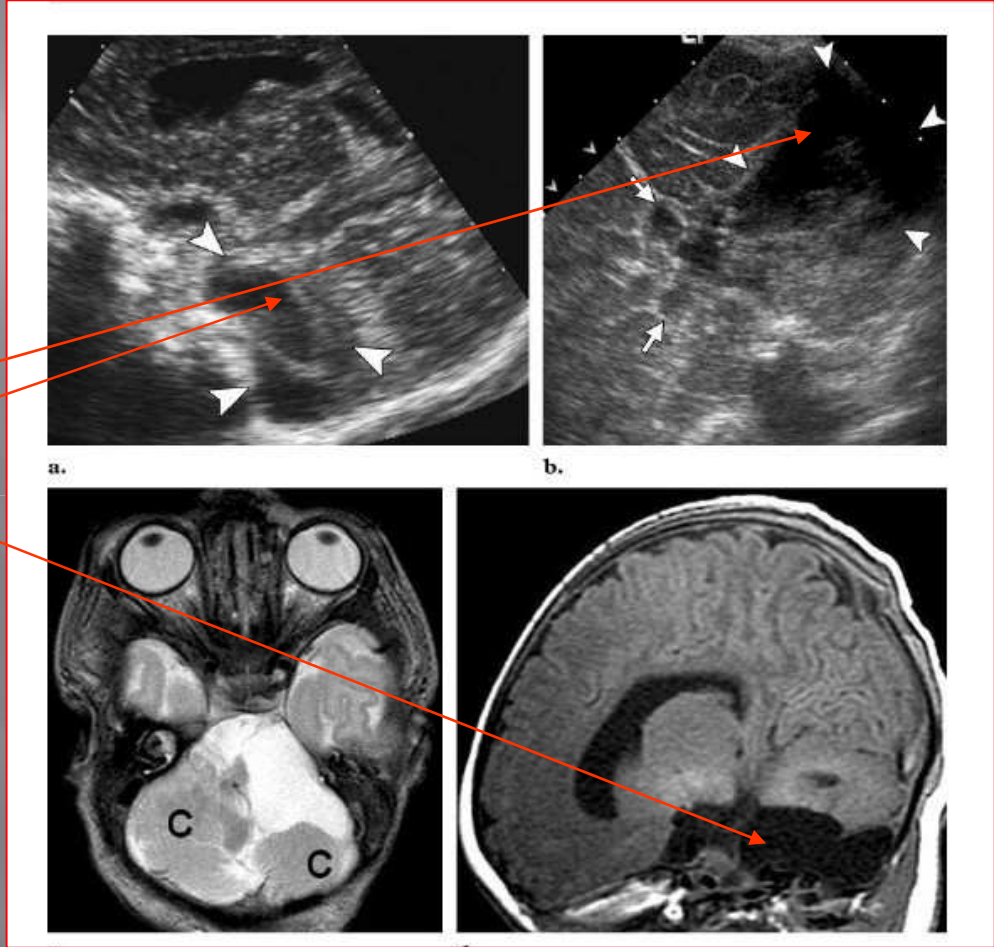
CVI on MRI



Mega cysterna magna < infarction, inflammation (CMV)



CSF collection

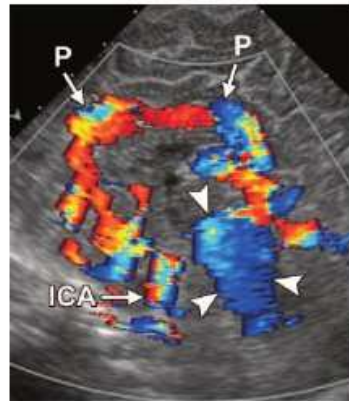


Arachnoid cyst

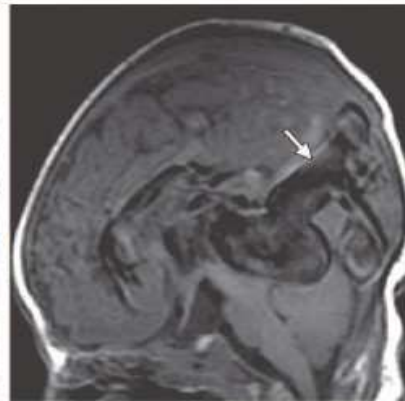
## Vein of Galien malformation



a.



b.

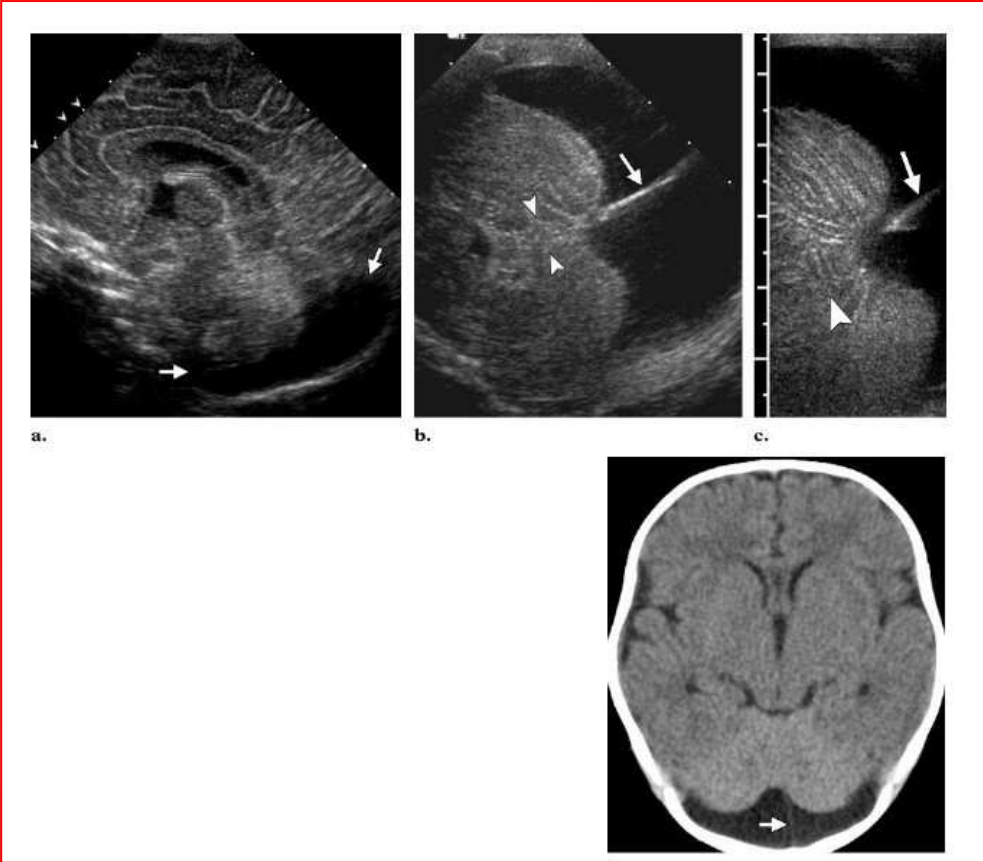


c.

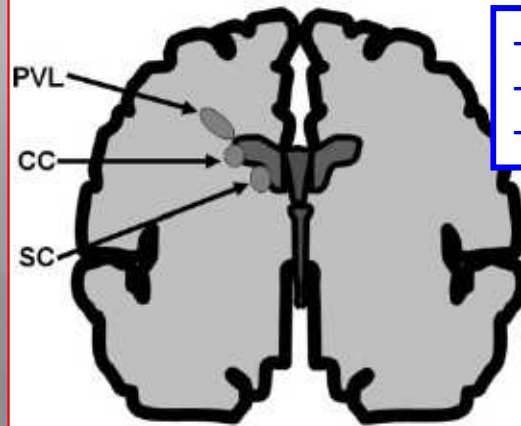


d.

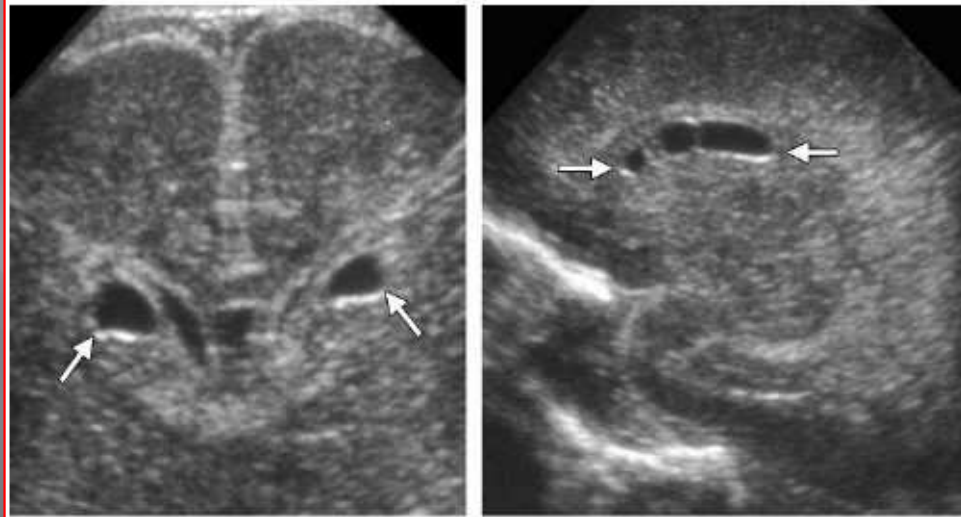
# Mega cysterna magna



## Different forms of periventricular cysts

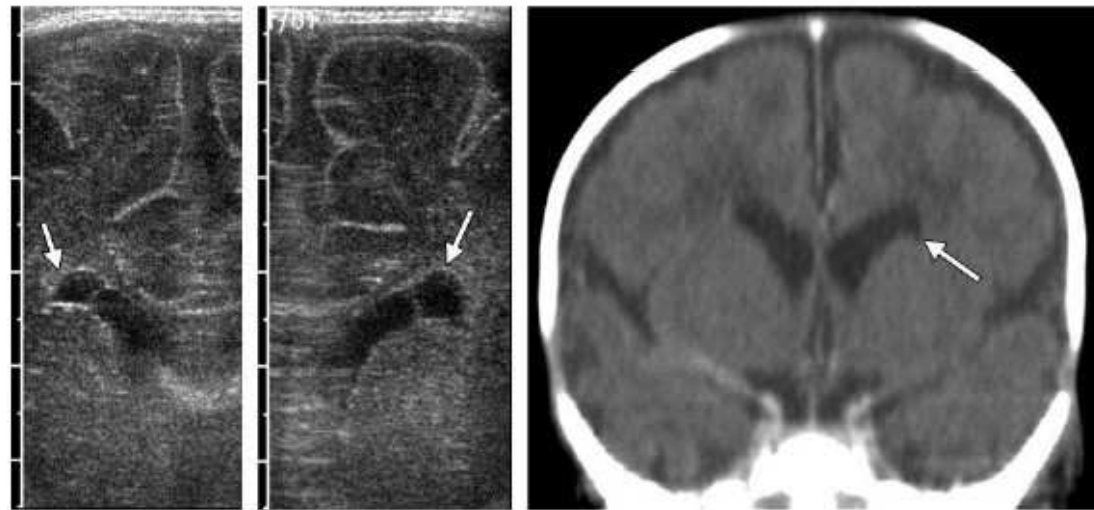


- PVL = periventricular leucomalacia
- CC = congenital cyst
- SC = subependymal cyst

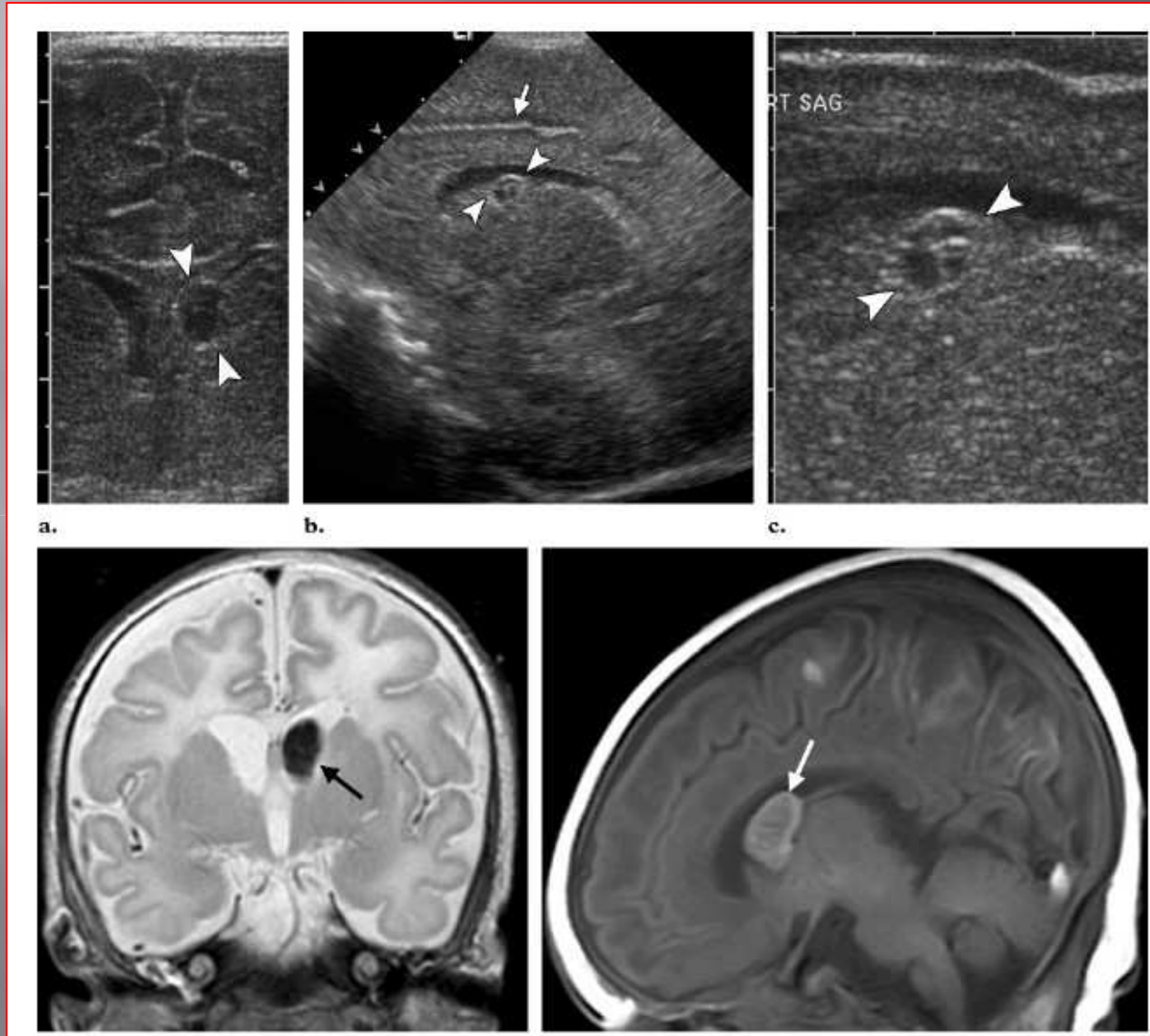




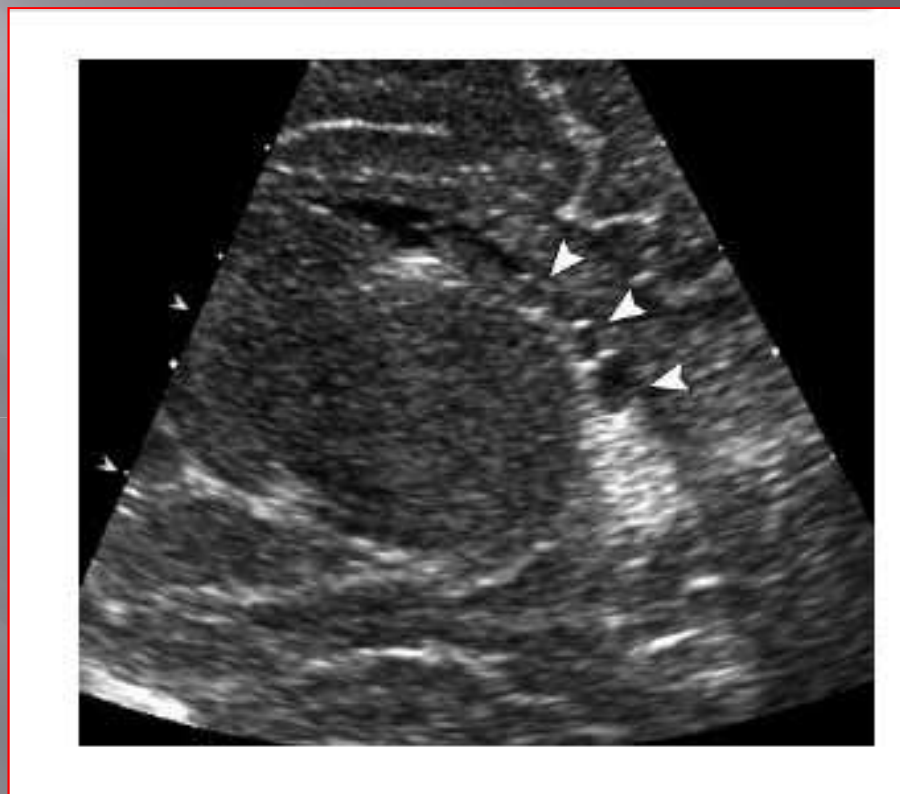
Connatal cyst:  
They are bilateral

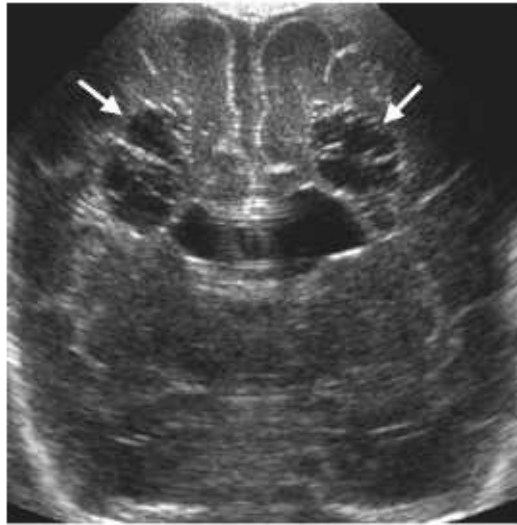


## Subependymal cyst after hemorrhage



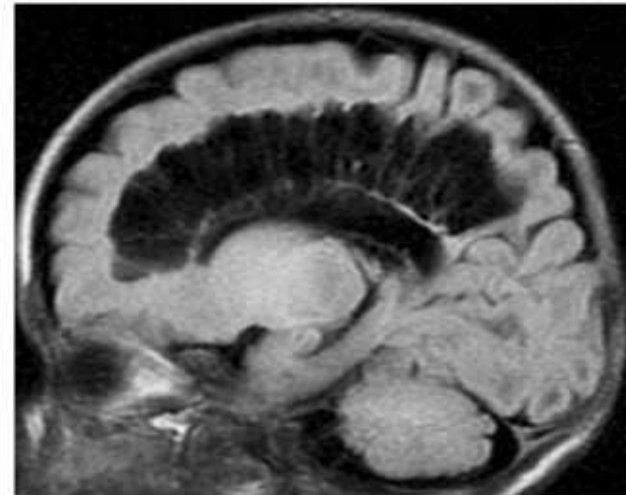
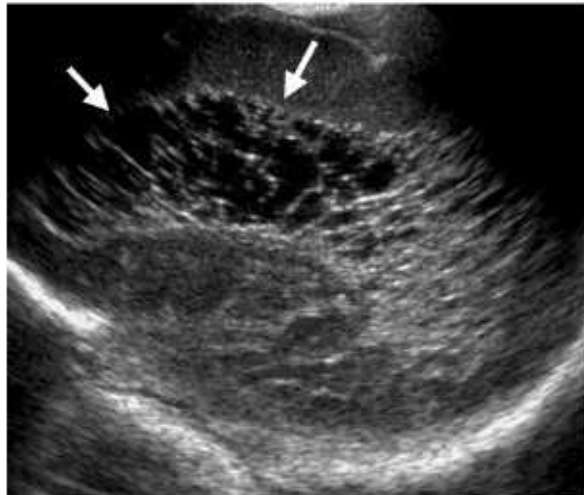
## Small choroid pseudocysts

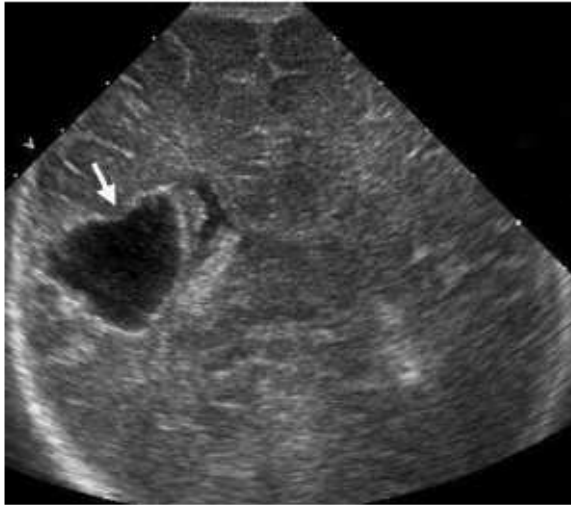




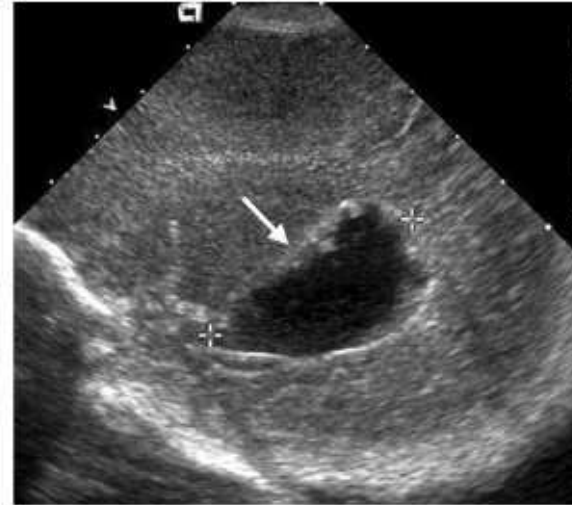
Periventricular leukomalacia:  
Extended form

a.





a.

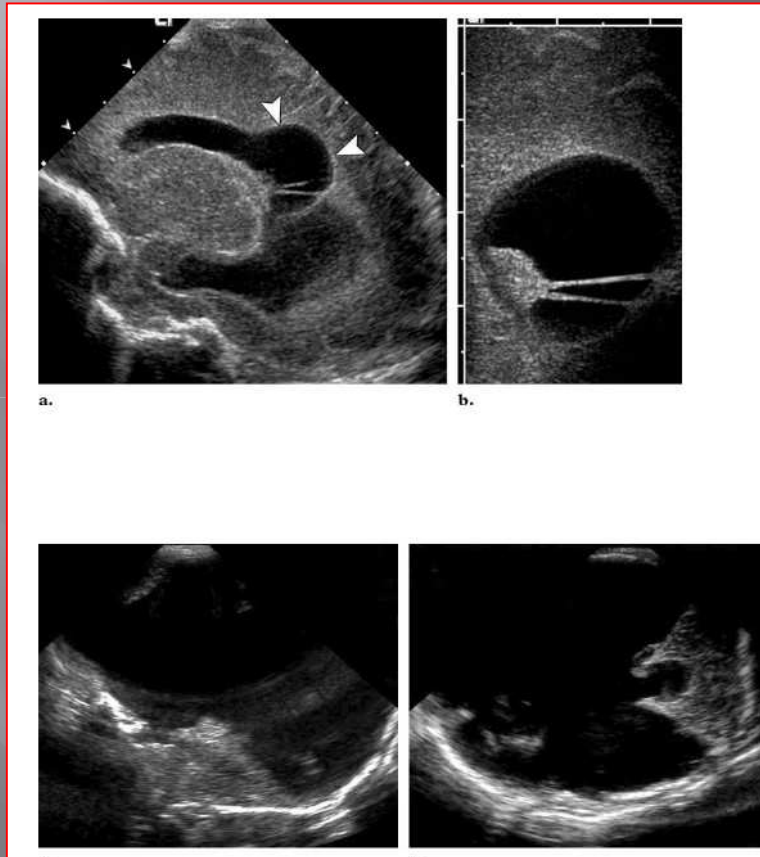


b.

Porencephaly:  
Non communicating

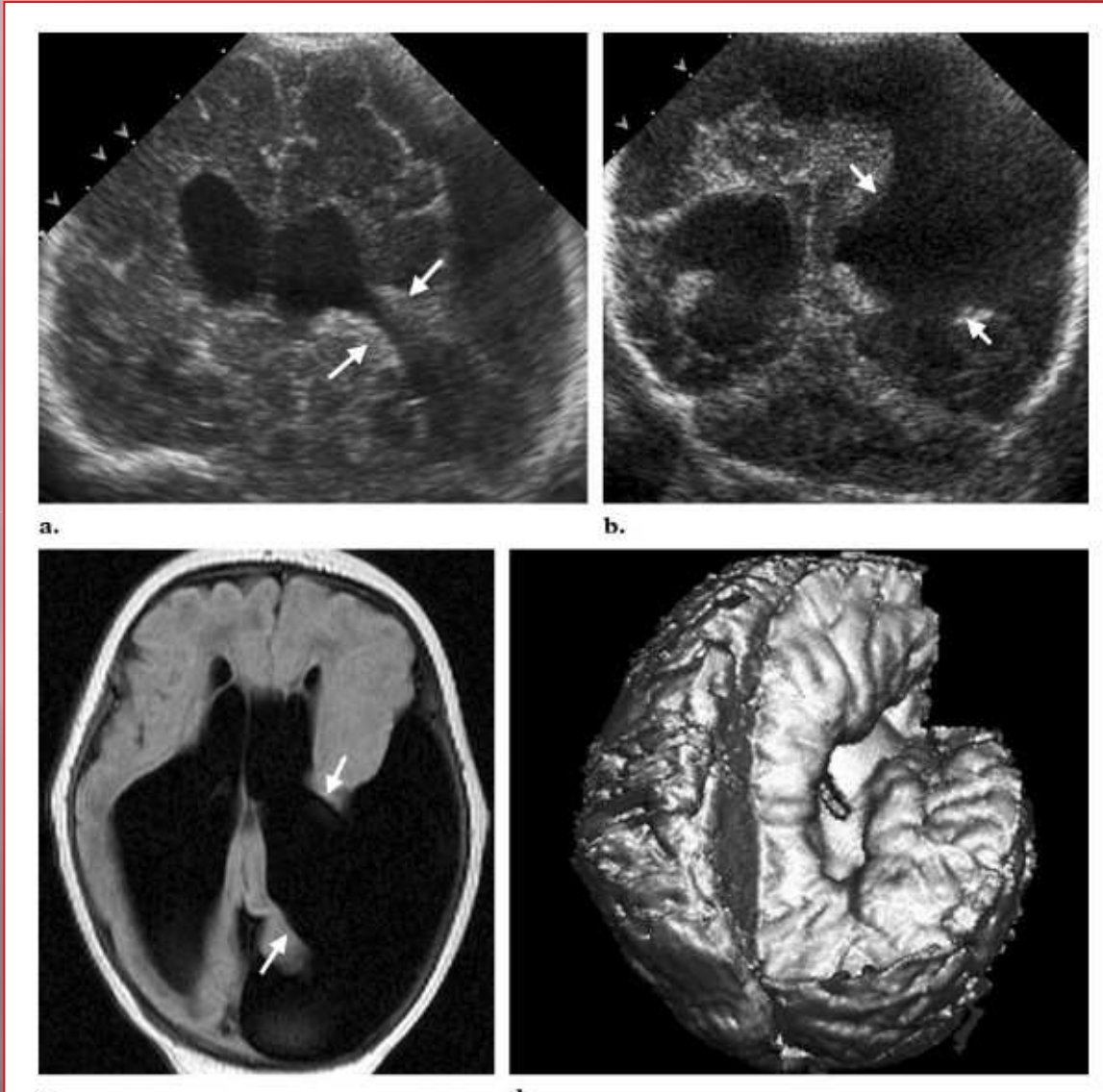


Porencephaly (communicating form)

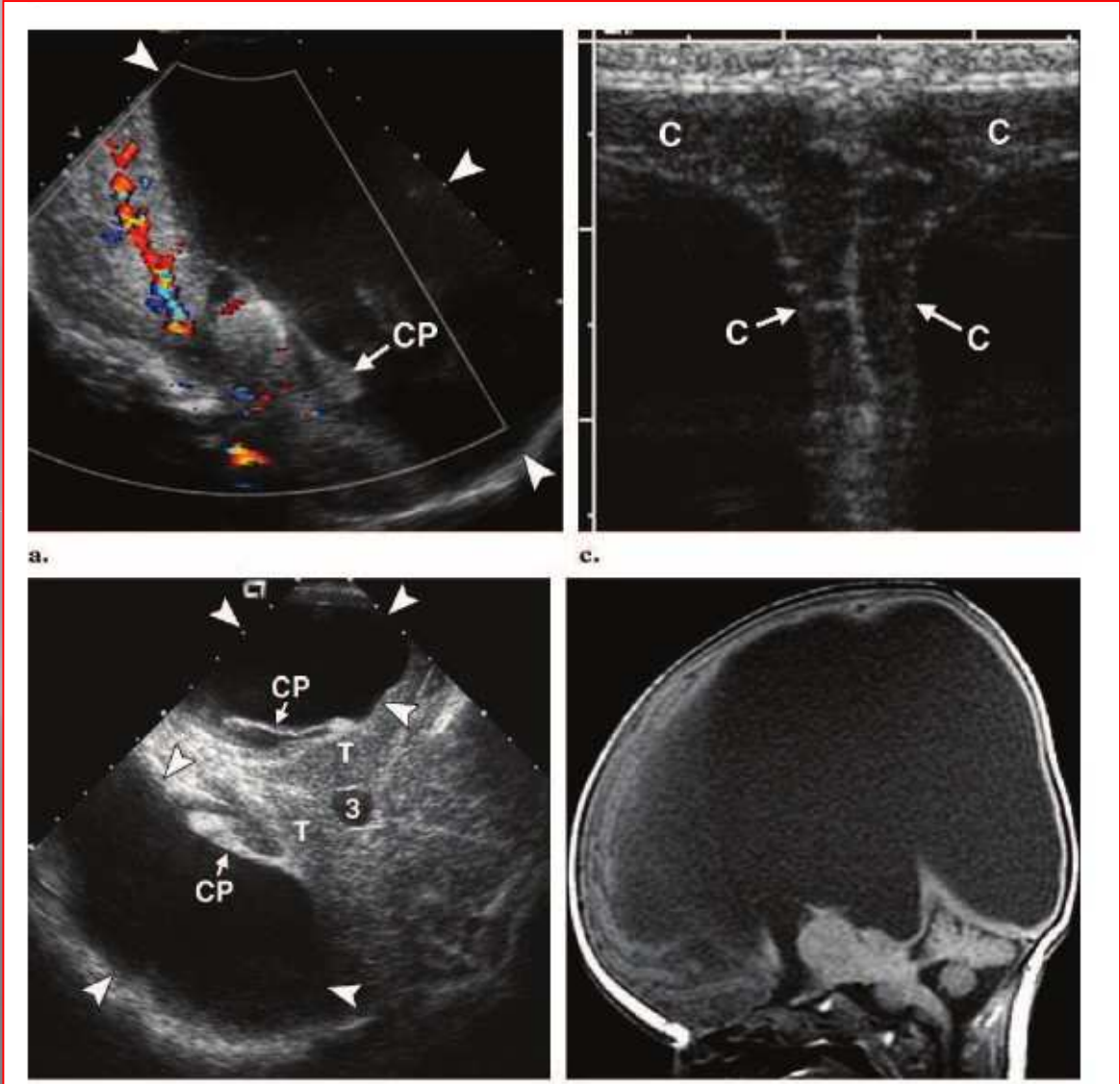


hydranencephaly

# Schizencephaly: ultrasounds and MRI

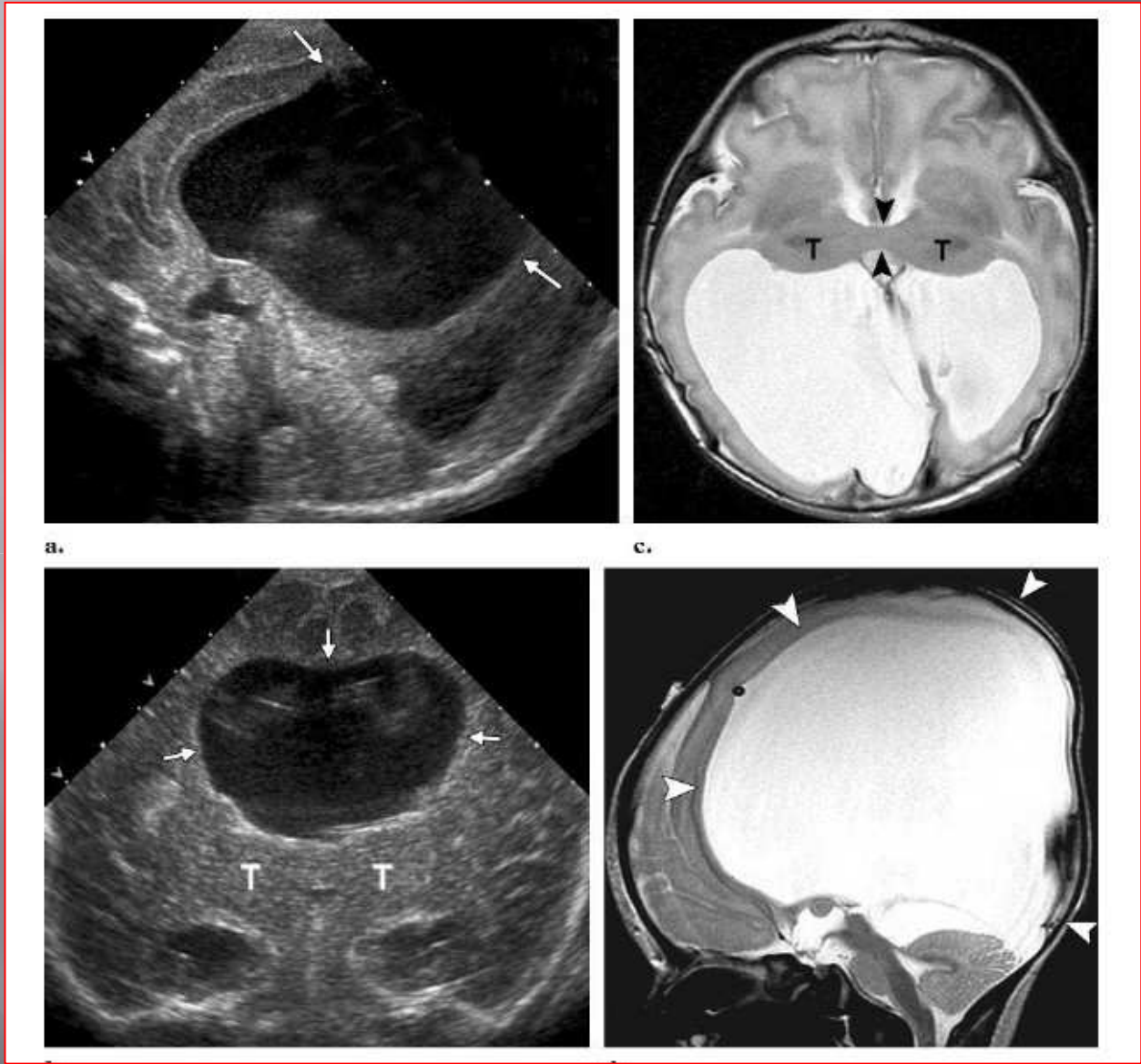


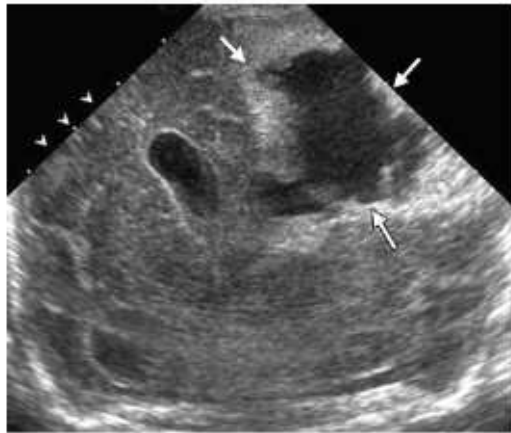
# Sever obstructive hydrocephalus



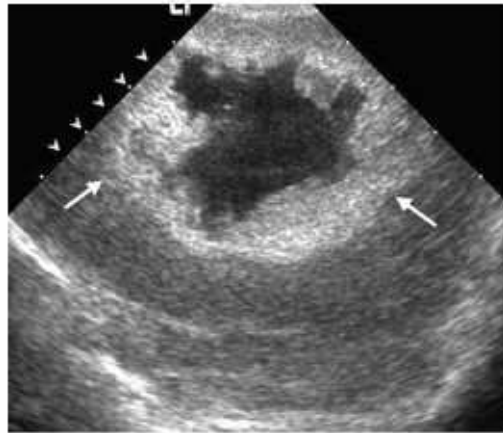


# holoprosencephaly

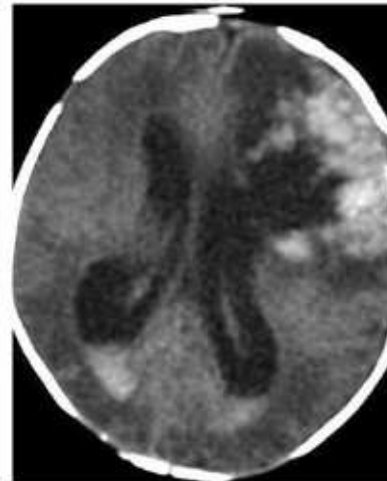
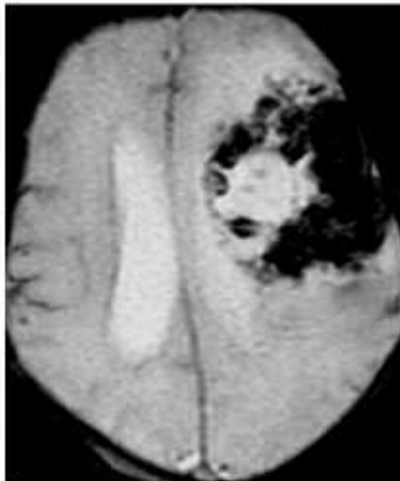




a.

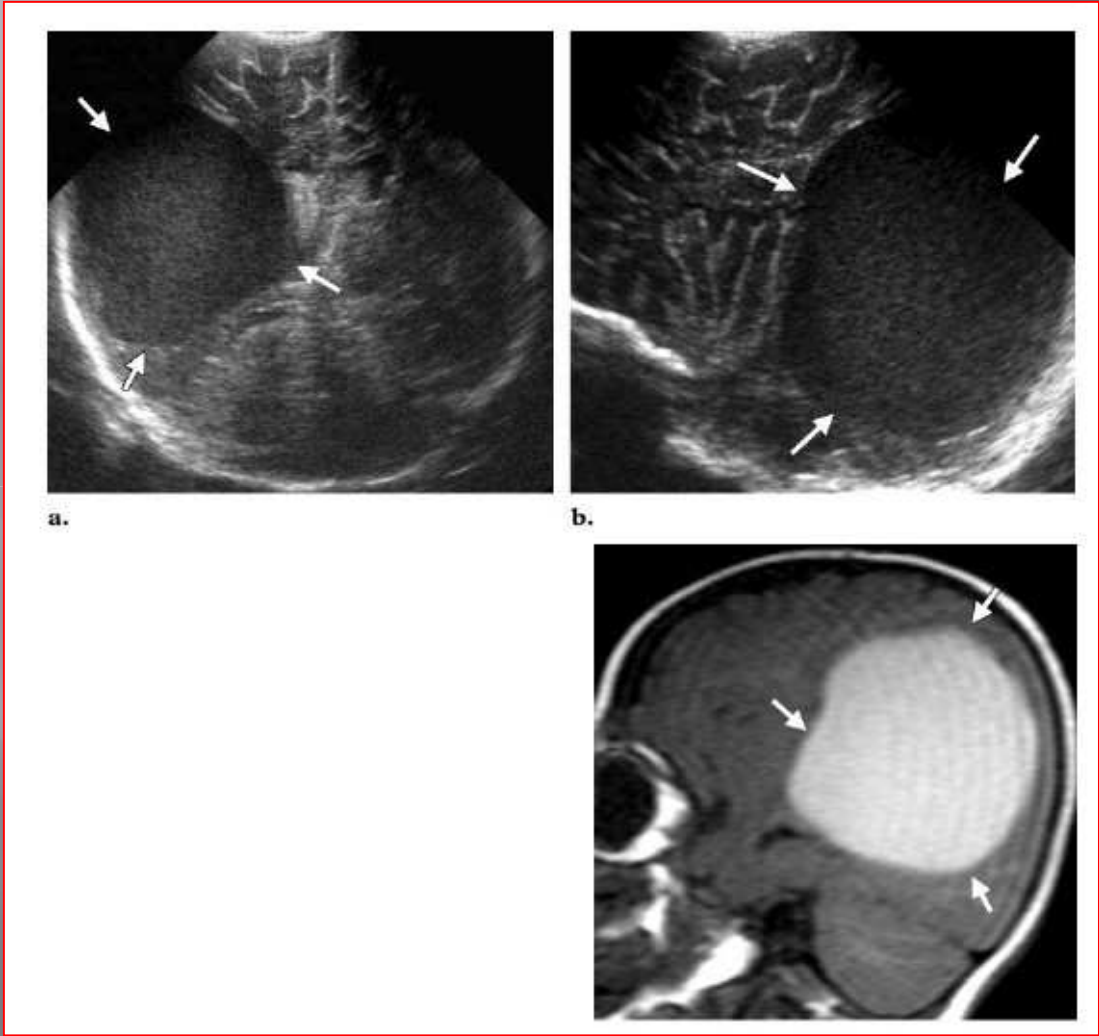


b.

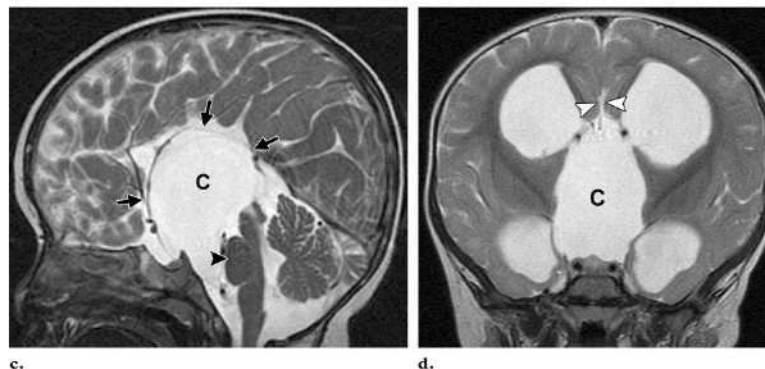
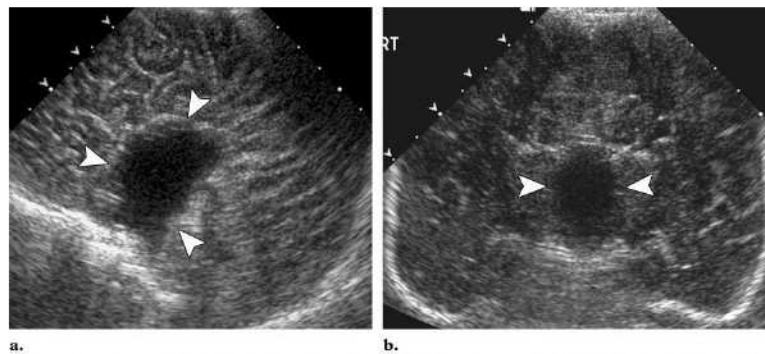
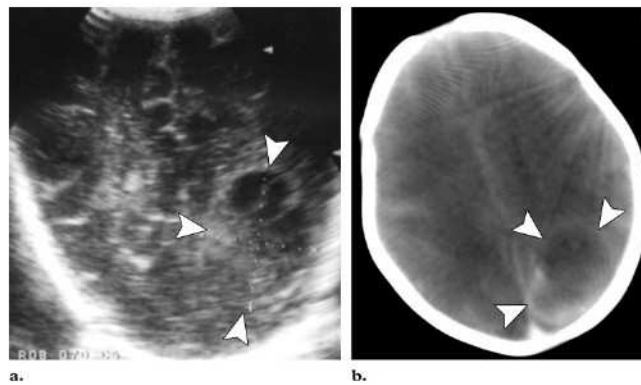


Parietal hematoma

# Intraparietal hematoma



## Brain abcess



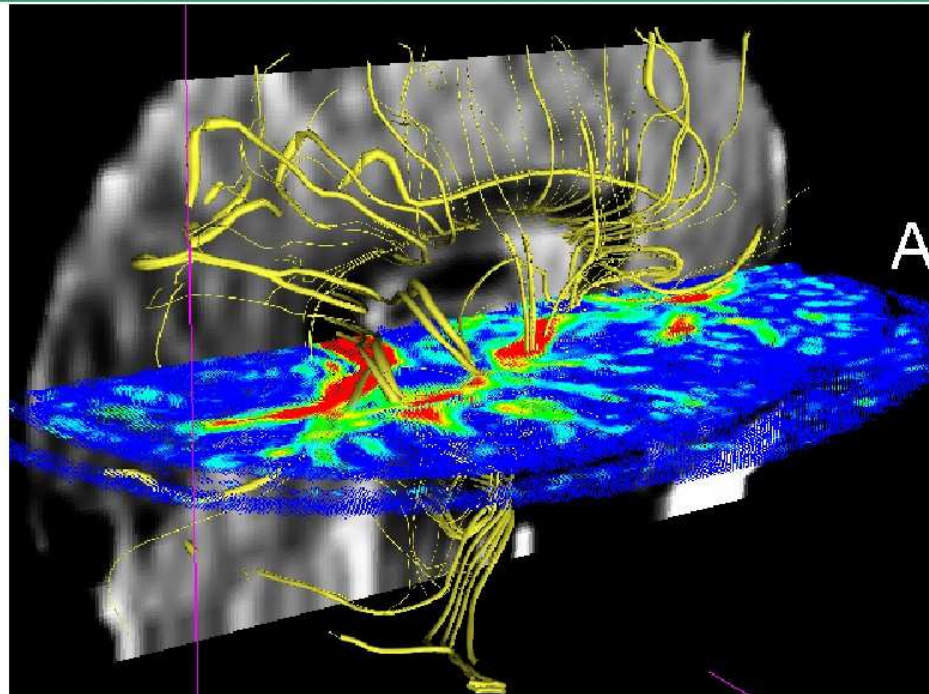
## Suprasellar arachnoid cyst

# MRI and tensor diffusion



Moving water molecules are « followed » in their movements and the fiber tracts interline these movements, in the descending or ascending sense.

# Les tractus sont « traqués »



# Les tractus sont « traqués » (2)

